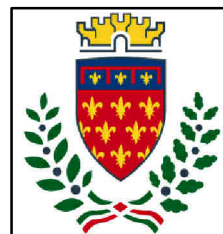




Finanziato
dall'Unione europea
NextGenerationEU



PFC Prato
Forest
City
comune di
PRATO
Codice Fiscale: 84006890481

Progetto

PNRR - MISSIONE 5 - INCLUSIONE E COESIONE - COMPONENTE 2 - INVESTIMENTO 2.1 "INVESTIMENTI IN PROGETTI DI RIGENERAZIONE URBANA, VOLTI A RIDURRE SITUAZIONI DI EMARGINAZIONE E DEGRADO SOCIALE FINANZIATO DALL'UNIONE EUROPEA - NEXT GENERATION EU - PROGETTO DI RIGENERAZIONE URBANA RELATIVO A "RIQUALIFICAZIONE VERDE SCOLASTICO PER ATTIVITA' DIDATTICA OPEN AIR"

CUP

C37H21001480001

Titolo

Relazione tecnica generale e relazione di calcolo

Fase

Progetto Esecutivo

Servizio	Servizio Urbanistica, Transizione Ecologica e Protezione Civile
Dirigente del servizio	Arch. Pamela Bracciotti
Responsabile Unico del Procedimento	Arch. Michela Brachi

Progettisti delle opere architettoniche

Arch. Massimo Fabbri - Ing. Alessandro Pazzagli

Collaborazione

Arch. Martina Melani - Arch. Gianni Balloni

Forestazione urbana

Dott. Agr. Paolo Bellocci - Arch. Antonella Perretta

Coordinatore della sicurezza in fase di progettazione

Geom. Andrea Landi

Progettazione opere strutturali

Ing. Silvia Paoletti

Tecnico rilevatore

Geom. David Cinalli

Studi Geologici

Dott. Geol. Luca Aiazzi

Lotto 5: S02

Scala:

**PNRR - MISSIONE 5 - INCLUSIONE E COESIONE - COMPONENTE 2 - INVESTIMENTO
2.1 "INVESTIMENTI IN PROGETTI DI RIGENERAZIONE URBANA, VOLTI A RIDURRE
SITUAZIONI DI EMARGINAZIONE E DEGRADO SOCIALE FINANZIATO DALL'UNIONE
EUROPEA - NEXT GENERATION EU - PROGETTO DI RIGENERAZIONE URBANA
RELATIVO A "RIQUALIFICAZIONE VERDE SCOLASTICO PER ATTIVITA' DIDATTICA
OPEN AIR"**

RELAZIONE GENERALE E RELAZIONE DI CALCOLO

LOTTO 05

1. PREMESSA

La presente relazione tecnica costituisce parte integrante del Progetto Esecutivo relativo ad un intervento più ampio di INCLUSIONE E COESIONE - COMPONENTE 2 - INVESTIMENTO 2.1 "INVESTIMENTI IN PROGETTI DI RIGENERAZIONE URBANA, VOLTI A RIDURRE SITUAZIONI DI EMARGINAZIONE E DEGRADO SOCIALE FINANZIATO DALL'UNIONE EUROPEA - NEXT GENERATION EU - PROGETTO DI RIGENERAZIONE URBANA RELATIVO A "RIQUALIFICAZIONE VERDE SCOLASTICO PER ATTIVITA' DIDATTICA OPEN AIR" da eseguirsi all'intervento del Comune di Prato in resedi esterne di complessi scolastici esistenti.

Gli interventi sono relativi alla realizzazione di manufatti esterni fuori terra di varia natura, geometria e materiali costruttivi che variano a seconda del complesso scolastico considerato.

Trattasi di tettoie, pergolati, strutture coperte e/o scoperte in legno, acciaio e alluminio.

Sono collocate del giardino della scuola o in aree prospicienti l'edificio scolastico.

Gli interventi sono accorpati in vari lotti a seconda della zona di appartenenza e pertanto la presente relazione farà riferimento al lotto interessato ed alle scuole di specifico interesse.

Si riporta a chiarimento il dettaglio dei LOTTI interessati e delle scuole appartenenti nei singoli lotti.

LOTTO 01

- Nido Ranocchio, via Meucci 6, angolo vicolo del Chiassarello, Prato
- Infanzia Fontanelle, via del Palasaccio, 7 Prato
- Scuola primaria e secondaria I grado statale Ivana Marcocci, via Ardengo Soffici, 30 Prato
- Scuola infanzia statale Paperino, via Giulio Pastore, 5 Prato
- Scuola primaria statale Valeria Crocini, via Fossi del Ferro, 17 Prato
- Scuola infanzia statale Le Badie, via Augusto Righi, 75/A Prato e Scuola primaria statale Le Fonti, via Louis Pasteur, 3 Prato
- Nido Fiore, via Righi, 79 Prato

LOTTO 02

- Scuola secondaria I grado statale Convevole Da Prato, via Primo Maggio, 40 Prato
- Scuola infanzia statale Tobbiana, via Traversa Pistoiese, 17D Prato
- Scuola primaria statale Agostino Ammannati, via Del Chiasso, 2 Prato
- Scuola primaria statale Leonardo Da Vinci, via di Vergaio, 12 Prato
- Scuola infanzia statale Vergaio, via di Vergaio, 51 Prato
- Scuola primaria statale Laura Poli, via Mauro Miliotti, 4 Prato
- Scuola infanzia statale Cafaggio, via Roma, 317 Prato
- Scuola infanzia e primaria statale Carlo Collodi, via Del Purgatorio, 26 Prato

LOTTO 03

- Scuola infanzia statale Ferrucci, via Francesco Ferrucci, 416 Prato
- Scuola infanzia statale Il Campino, via Giovanni Amendola, 46 Prato;
- Scuola primaria statale Fabrizio De Andrè, via Gino Capponi, 51 Prato;
- Scuola primaria statale Pizzidimonte, via Mugellese 58/59 Prato
- Nido La Querce, via Firenze 310, Prato;

- Scuola secondaria I grado statale Giovan Battista Mazzoni, via San Silvestro, 11 Prato

LOTTO 04

- Scuola primaria statale Luca D'Amico, via Visiana, 225 Prato
- Scuola infanzia e primaria statale Gandhi, via Renato Mannocci, 23 Prato
- Infanzia Galciana, Via Valori, 1 Prato
- Infanzia Maliseti, via Cefalonia, 12 e Nido Pan Di Ramerino, via Coppola 10, Prato
- Scuola infanzia e primaria statale Claudio Puddu, via Montalese, 239 Prato

LOTTO 05

- Scuola primaria statale Virginia Frosini e Scuola secondaria I grado statale Buricchi via Galcianese, 20 Prato
- Scuola infanzia e primaria statale Pietro Mascagni, via Arturo Toscanini, 6 Prato
- Scuola infanzia Statale Borgo e Nido Le Girandole, via San Paolo, 149 Prato
- Nido Borgo, via Paisiello, 2 Prato
- Scuola infanzia Statale Il Pino, via Galcianese, 20 Prato
- Scuola infanzia statale Chiesanuova, Via Enrico Toti, 40/41 Prato
- Scuola primaria statale Ciliani, via Taro, 56 Prato

LOTTO 06

- Scuola infanzia e primaria statale Giuseppe Meucci – via Giovanni Marradi, 2 Prato
- Scuola secondaria I grado statale Enrico Fermi, via Evaristo Gherardi, Prato
- Infanzia Galilei via Ada Negri, 57 e Nido Astrolabio, via Bisenzio a San Martino snc, Prato
- Scuola primaria statale Puccini – via Clemente Guerra, 47 Prato
- Scuola infanzia statale Cilianuzzo – via del Cilianuzzo, 10 Prato
- Nido e Infanzia Corridoni, via Corridoni, 15 Prato

Non tutte le scuole appartenenti al Lotto analizzato sono interessata dalla realizzazione dei nuovi manufatti.

La presente relazione è relativa alla descrizione delle opere strutturali che riguardano i manufatto oggetto di nuova realizzazione.

I manufatti sono primariamente distinti in 'opera di minore rilevanza' ai sensi delle NTC 2018 e 'opera priva di rilevanza'.

Le opere di minore rilevanza sono state dimensionate ai sensi delle NTC e per le stesse si procederà ad uno specifico deposito sismico configurato come nuova costruzione.

Le opere prive di rilevanza sono sempre dimensionate ai sensi delle NCT però per le stesse si procederà alla redazione di un fascicolo di calcolo che verrà opportunamente depositato solo presso l'AC.

2. LOTTO 05

Il LOTTO 05 accorpa 07 edifici scolastici della zona est del territorio pratese.

L'intervento strutturale relativo alla realizzazione dei nuovi manufatti si ha in 04 degli edifici sopra indicati e degli interventi previsti 03 sono progetti strutturalmente rilevanti e 01 considerato come opera priva di rilevanza ai fini della pubblica incolumità.

Nel dettaglio

- Scuola primaria statale Virginia Frosini e Scuola secondaria I grado statale Buricchi via Galcianese, 20 Prato
- Scuola infanzia e primaria statale Pietro Mascagni, via Arturo Toscanini, 6 Prato
- Scuola infanzia Statale Borgo e Nido Le Girandole, via San Paolo, 149 Prato
- Nido Borgo, via Paisiello, 2 Prato
- Scuola infanzia Statale Il Pino, via Galcianese, 20 Prato
- Scuola infanzia statale Chiesanuova, Via Enrico Toti, 40/41 Prato
- Scuola primaria statale Ciliani, via Taro, 56 Prato

Gli interventi nello specifico analizzati sono i seguenti:

- Scuola primaria statale Virginia Frosini e Scuola secondaria I grado statale Buricchi : nel resede scolastico è progettata la realizzazione di una STRUTTURA DI ALLUMINIO COPERTA dimensioni fuori terra 600x400x295
- Scuola infanzia Statale Borgo e Nido Le Girandole: nel resede scolastico è progettata la realizzazione di un GAZEBO OTTAGONALE LIGNEO
- Scuola infanzia Statale Il Pino : nel resede scolastico è progettata la realizzazione di una STRUTTURA DI ACCIAIO SCOPERTA A LAMELLA 1000X400X300
- Scuola infanzia statale Chiesanuova : nel resede scolastico è progettata la realizzazione di un GAZEBO OTTAGONALE LIGNEO

DESCRIZIONE STRUTTURALE E RELAZIONE DI CALCOLO DEI MANUFATTI OGGETTO DI PROGETTAZIONE

3 STRUTTURA DI ALLUMINIO COPERTA

La tipologia di pergola prevista nel progetto è riconducibile ad un modello esistente sul mercato definita Eclettica.

Trattasi di una struttura con profili estrusi di alluminio ideale per proteggersi dal sole e dalla pioggia o attività scolastica all'aperto e quant'altro attività come relax, picnic, parchi giochi e socializzazione all'aperto. La struttura ha un ingombro fuori terra pari a 600x400 con altezza sotto trave pari a 2.95ml dal pavimento.

E' composta da 4 pilastri ciascuno composto da un profilo estruso di alluminio EN AW- 6005 A – T6.

I pilastri sono realizzati mediante profili estrusi in alluminio a forma quadrata dimensioni esterne 130x130 collegati alla base da piastre a scomparsa.

In testa i pilastri sono collegati da travi principali sagomate ingombro massimo della sezione 130x260 provviste già di canale per la raccolta delle acque.

La falda della struttura è poi realizzata mediante arcarecci sempre in profili estrusi di alluminio sezioni 80x52

La fondazione della struttura è realizzata mediante platea gettata in opera opportunamente dimensionata. Gli elementi verticali del gazebo sono vincolati alla platea di base mediante piastre di ancoraggio a scomparsa come da dettaglio esecutivo allegato.

I nodi di collegamento tra gli elementi sono semplici appoggi.

3.1 RELAZIONE DI CALCOLO STRUTTURA DI ALLUMINIO

Dal punto di vista strutturale l'intervento si configura come nuova costruzione ai sensi delle NTC 2018.

Il manufatto è stato dimensionato considerando la sovrastruttura incastrata alla base e sollecitata da vento, neve e sisma nelle combinazioni di carico previste dalla normativa.

Le sollecitazioni ricavate poi dalla verifica dinamica della sovrastruttura sono state poi applicate alla platea sottostante per il dimensionamento della stessa e per la verifica della portanza del terreno.

La sovrastruttura è stata dimensionata mediante l'ausilio di un modellatore strutturale Modest e sono stati sulla stessa applicati i carichi neve e vento come da normativa vigente.

Ipotesi progettuali comuni a tutti i manufatti dimensionati sono:

- $q=1$
- Classe III: Costruzioni il cui uso preveda affollamenti significativi - SCUOLE

Simbologia

TCC = Tipo di combinazione di carico

SLU = Stato limite ultimo

SLU S = Stato limite ultimo (azione sismica)

SLE R = Stato limite d'esercizio, combinazione rara

SLE F = Stato limite d'esercizio, combinazione frequente

SLE Q = Stato limite d'esercizio, combinazione quasi permanente

SLD = Stato limite di danno

SLV = Stato limite di salvaguardia della vita

SLC = Stato limite di prevenzione del collasso

SLO = Stato limite di operatività

A_g = Accelerazione orizzontale massima al sito

FO = Valore massimo del fattore di amplificazione dello spettro in accelerazione orizzontale

TC* = Periodo di inizio del tratto a velocità costante dello spettro in accelerazione orizzontale

TCC	A_g	FO	TC*
SLO	0.5764	2.55	0.27
SLD	0.7013	2.54	0.27
SLV	1.6150	2.41	0.31

- Tipo di opera: Opera ordinaria

- Vita nominale V_N : 50.00

- Classe d'uso: classe III

- SL Esercizio: SLO-Pvr 81.00, SLD-Pvr 63.00

- SL Ultimi: SLV-Pvr 10.00, SLC-Pvr no

- Classe di duttilità: classe B

- Quota di riferimento: 0.00 <m>

- Altezza della struttura: 2.70 <m>

- Numero piani edificio: 1

- Coefficiente θ : 0

- Edificio regolare in altezza: si

- Edificio regolare in pianta: si
- Forze orizzontali convenzionali per stati limite non sismici: 1.00%

Dati di calcolo

- Categoria del suolo di fondazione: C
- Tipologia edificio: acciaio a telaio con controventi concentrici a K ad un piano

Coeff. C_1	0.085
Periodo T_1	0.1790
	4
Coeff. λ SLO	1.00
Coeff. λ SLD	1.00
Coeff. λ SLV	1.00
Rapporto di sovrarresistenza (α_u/α_1)	1.10
Fattore riduttivo (K_w)	1.00
Fattore di struttura (q)	1.00

- Categoria topografica: T1 - Superficie pianeggiante, pendii e rilievi isolati con inclinazione media $i \leq 15^\circ$
- Coeff. amplificazione topografica: 1.00
- Fattore di struttura per sisma verticale (q_v): 1.50
- Modi da calcolare: 3
- Modi da considerare: tali da movimentare una percentuale di massa pari a 85.00%
- Smorzamento spettro: 5.00

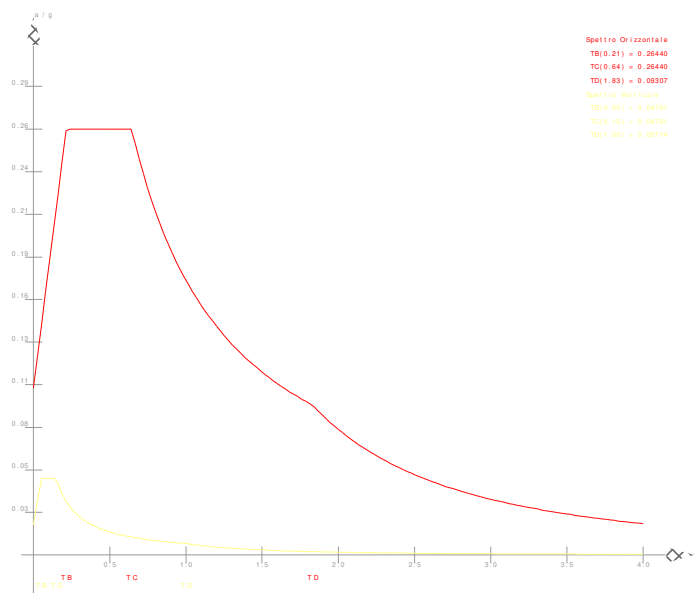


Figura numero 1: Spettro allo SLO

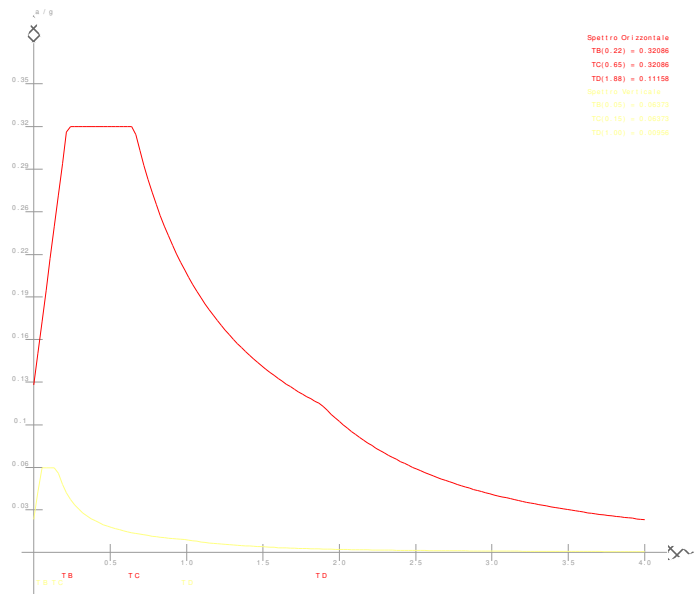


Figura numero 2: Spettro allo SLD

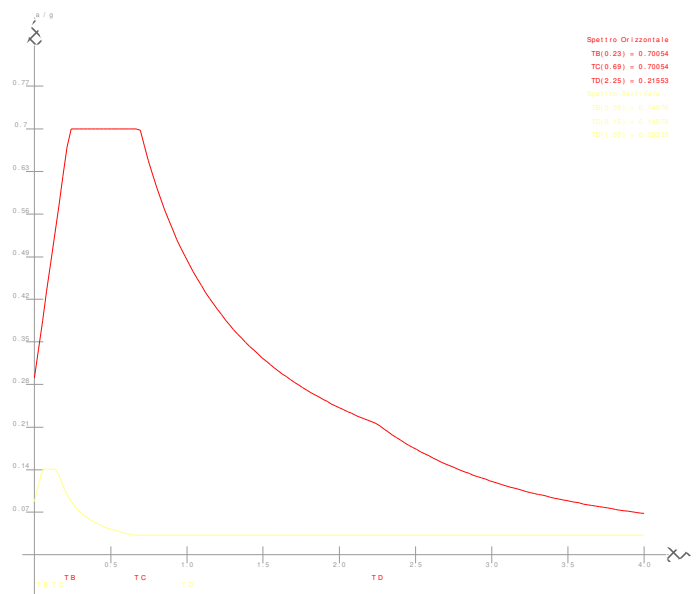
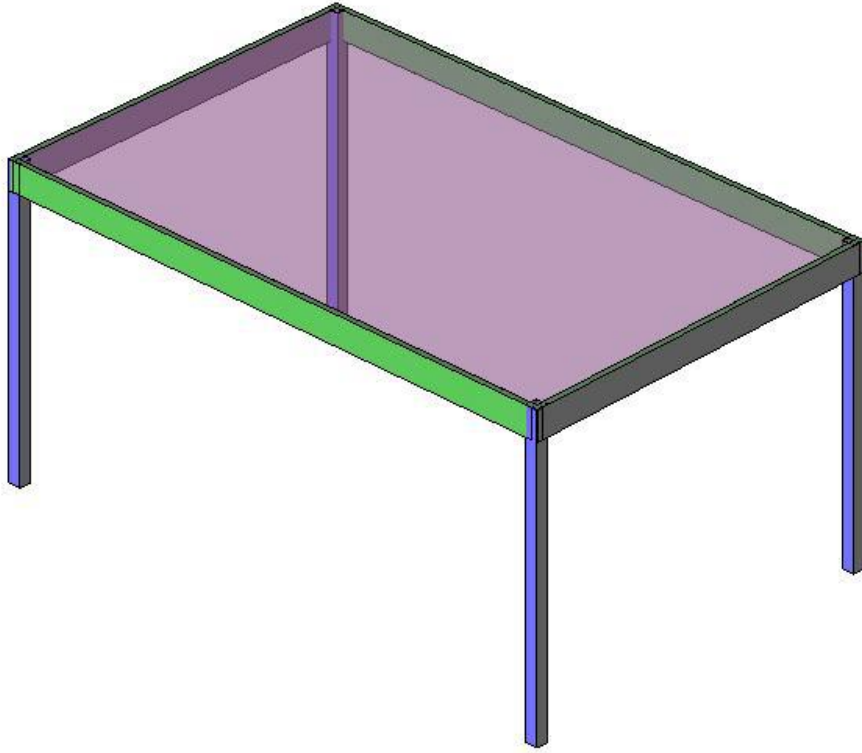


Figura numero 3: Spettro allo SLV

- Angolo di ingresso del sisma: 0.00 <grad>



3.2 RELAZIONE SUI MATERIALI

Acciaio per c.a. in barre ad aderenza migliorata:

Tensione di snervamento: **B450C**

$$f_{yk} \geq 4500 \text{ Kg/cm}^2$$

Conglomerato cementizio armato per strutture di fondazione: **C28/35**

Classe di consistenza S4, Dimensione max inerte < 24 mm
 Resistenza di progetto a compressione: $f_{cd} = 158.7 \text{ Kg/cm}^2$
 Resistenza di progetto a trazione: $f_{ctd} = 12.9 \text{ Kg/cm}^2$
 Classe di esposizione XC2
 Da tabella 4.1.III delle NTC condizioni ambientali ordinarie: copriferro $\geq 25 \text{ mm}$

Acciaio da carpenteria

Tutti gli elementi dovranno avere un modulo di elasticità non inferiore a 206000 N/mmq.

Profilati, larghi piatti, barre e lamiera

Acciaio tipo S 235 con le seguenti caratteristiche:

Tensione caratteristica di snervamento $\geq 235 \text{ N/mmq}$
 Tensione di rottura a trazione $\geq 390 \text{ N/mmq}$
 Allungamento percentuale a rottura per lamiera $\geq 24\%$
 Allungamento percentuale a rottura per barre, laminati, profilati e larghi piatti $\geq 26\%$

Bulloneria

Classe 4.6

ALLUMINIO DA ESTRUSIONE EN AW 6005 A

Caratteristiche fisiche

massa volumica :	2,71	g / cm ³	conducibilità termica a 20°C	- nello stato O: -nello stato T6:	2,09 1,72	W / cm °K W / cm °K
punto di fusione inferiore :	615	°C	coefficiente di dilatazione termica lineare	-tra 20° e 100°C: -tra 20° e 200°C: -tra 20° e 300°C:	23,2 · 10 ⁻⁶ 24,1 · 10 ⁻⁶ 25 · 10 ⁻⁶	1 / °K 1 / °K 1 / °K
calore specifico tra 0° e 100°C:	897	J/Kg °K	resistività elettrica a 20°C	-nello stato O: -nello stato T6	3,14 3,85	μΩ · cm μΩ · cm
modulo di elasticità lineare E:	69000	N / mm ²				
modulo elasticità tangenziale G:	26000	N / mm ²				

Composizione chimica secondo Norma Europea EN 573.3

	Si	Fe	Cu	Mn	Mg	Cr	Zn	Ti	Altri		Al
									ciascuno	totale	
EN AW-6005A	0,5 ÷ 0,9	0,35 max	0,30 max	0,50 max (*)	0,4 ÷ 0,7	0,30 max (*)	0,20 max	0,10 max	0,05 max	0,15 max	resto
NOTA (*): (Mn + Cr) = 0,12 ÷ 0,50											

Proprietà meccaniche minime, secondo Norma Europea EN 755.2

Tipi di profilo	(1) stato fisico di fornitura	diametro D [mm] per tondi, o spess. S [mm] per barre, o spess. di parete e per profili		Carico di rottura a trazione Rm [MPa]		Carico limite di elasticità R _{p0.2} [MPa]		Allungamento	
				min	max	min	max	A % min	A _{50mm} % min
Barre piene	T6 (*)	D ≤ 25	S ≤ 25	270		225	-	10	8
		25 ≤ D ≤ 50	25 ≤ S ≤ 50	270	-	225	-	8	
		50 ≤ D ≤ 100	50 ≤ S ≤ 100	260	-	215	-	8	-
Tubi	T6 (*)	e ≤ 5		270		225		8	6
		5 < e ≤ 10		260		215		8	6
Profili aperti	T4 (*)	e ≤ 25		180	-	90	-	15	13
	T6 (*)	e ≤ 5		270	-	225	-	8	6
		5 < e ≤ 10		260	-	215	-	8	6
		10 < e ≤ 25		250	-	200	-	8	6
Profili cavi	T4 (*)	e ≤ 10		180	-	90	-	15	13
	T6 (*)	e ≤ 5		255	-	215	-	8	6
		5 < e ≤ 15		250	-	200	-	8	6

3.3 RELAZIONE DI FONDAZIONE

Si fa riferimento alla caratterizzazione geologico tecnica delle Scuole Collodi in quanto il substrato ha caratteristiche di portanza inferiori rispetto a quello delle Scuole <convenevole da Prato.

Di seguito si procede al calcolo della tensione trasmessa dalla struttura astiforme a alla platea di fondazione.

Dall'analisi delle reazioni vincolari alla base di ciascun elemento portante verticale si procede al dimensionamento della platea di fondazione ed al calcolo della tensione massima trasmessa da questa al terreno sottostante.

Si è proceduto ad una doppia verifica: la verifica STRU della platea e la verifica GEO con la quale si è ricavato il valore del carico massimo sul terreno da confrontare con il carico limite indicato nella relazione geologico-tecnica allegata alla presente pratica.

Reazioni vincolari

Simbologia

- Nodo = Numero del nodo
- R_x = Reazione vincolare (forza) in dir. X
- CC = Numero della combinazione delle condizioni di carico elementari
- R_y = Reazione vincolare (forza) in dir. Y
- R_z = Reazione vincolare (forza) in dir. Z
- M_x = Reazione vincolare (momento) intorno all'asse X
- M_y = Reazione vincolare (momento) intorno all'asse Y
- M_z = Reazione vincolare (momento) intorno all'asse Z

Nodo	Rx <kg>	CC	Ry <kg>	CC	Rz <kg>	CC	Mx <kgm>	CC	My <kgm>	CC	Mz <kgm>	CC
1 Max	559.52	1	416.54	7	942.85	7	522.96	7	702.54	1	0.00	7
1 Min.	-236.54	1	-379.52	7	304.60	7	-555.52	7	-418.76	1	0.00	7
2 Max	236.54	1	416.54	7	942.85	7	522.96	7	418.76	1	0.00	7
2 Min.	-559.52	1	-379.52	7	304.60	7	-555.52	7	-702.54	1	0.00	7
3 Max	559.52	1	379.52	7	942.85	7	555.52	7	702.54	1	0.00	7
3 Min.	-236.54	1	-416.54	7	304.60	7	-522.96	7	-418.76	1	0.00	7
4 Max	236.54	1	379.52	7	942.85	7	555.52	7	418.76	1	0.00	7
4 Min.	-559.52	1	-416.54	7	304.60	7	-522.96	7	-702.54	1	0.00	7

VERIFICA GEO DELLA PLATEA

CAPACITA' PORTANTE - METODO DI TERZAGHI GENERALIZZATO

APPROCCIO 2 (A1 + M1 + R3)

azioni incrementate, parametrici geotecnici invariati, resistenze ridotte

GammaG1 (*)	1,3
GammaG2 (*)	1,5
GammaQ (*)	1,5

VERIFICA ALLO SLU DI TIPO GEOTECNICO CALCOLO DEL CARICO LIMITE INSIEME FONDAZIONE- TERRENO

Dati terreno

angolo d'attrito ϕ	gradi	22
peso specifico 1	t/mc	1,70
peso specifico 2	t/mc	1,80
coesione c'	t/mq	0,00
inclinazione del pendio	gradi	0
profondità della falda dw	m	100
tipo di terreno	C/A	PD

Geometria fondazione

profondità di posa D	m	0,45
base B	m	1,00
lunghezza L (L>B)	m	1,00
eccentricità Eb	m	0,00
eccentricità EI	m	0,00
inclinazione del carico effettiva	gradi	0,00

Dati di calcolo

inclinazione del carico sismica	gradi	3,60
inclinazione del carico totale	gradi	3,60487
B" (= B o B')	m	1
L" (= L o L')	m	1
c" (= c o c*)	t/mq	0,00
fi" (= fi o fi*)	gradi	22
Nq		7,82
Ng		7,13

Nc		16,88
fq		1,404
fg		0,600
fc		1,463
iq		0,960
ig		0,836
ic		0,960
eq		1,000
eg		1,000
ec		1,000
Risultati		
qlim	t/mq	11
gammaR		1,00
qRd	t/mq	11
kwinkler	DaN/cm ³	0,45

PLATEA					
GEOMETRIA					
Dimensioni	(cm)	bx	by	Bx	By
		13	13	60	60
H plinto	(cm)	20			
copriferro	(cm)	3			
d	(cm)	17			
SOLLECITAZIONI - MATERIALI					
Azioni agenti SLU (KN-KNm)		Nsd	Msd x	Msd y	
		9,43	5,23	7,03	
PRESSIONI					
Pressioni sul terreno	MPa	σ_1	σ_2	σ_3	σ_4
		0,402	-0,035	0,077	-0,361

La verifica GEO è soddisfatta in quanto $0.402 < 1.1$.

VERIFICA STRU DELLA PLATEA

Si considera una sezione della platea 40x40x20 in corrispondenza della quale vengono trasmesse le reazioni vincolari dei pilastri e si procede alla verifica geo della sezione

Verifica C.A. S.L.U. - File: _ □ ×

File Materiali Opzioni Visualizza Progetto Sez. Rett. Sismica Normativa: NTC 2018 ?

Titolo: _____

N° strati barre Zoom

N°	b [cm]	h [cm]
1	40	20

N°	As [cm²]	d [cm]
1	3,14	3
2	3,14	17

Tipo Sezione

Rettan.re Trapezi

a T Circolare

Rettangoli Coord.

DXF

Sollecitazioni

S.L.U. ↔ Metodo n

N_{Ed} kN

M_{xEd} kNm

M_{yEd}

P.to applicazione N

Centro Baricentro cls

Coord.[cm] xN yN

Tipo rottura

Lato calcestruzzo - Acciaio snervato

Materiali

B450C

ε_{su} ‰

f_{yd} N/mm²

E_s N/mm²

E_s/E_c

ε_{syd} ‰

σ_{s,adm} N/mm²

C28/35

ε_{c2} ‰

ε_{cu} ‰

f_{cd} N/mm²

f_{cc}/f_{cd} [?]

σ_{c,adm} N/mm²

τ_{co} N/mm²

τ_{c1} N/mm²

M_{xRd} kNm

σ_c N/mm²

σ_s N/mm²

ε_c ‰

ε_s ‰

d cm

x x/d δ

Metodo di calcolo

S.L.U.+ S.L.U.-

Metodo n

Tipo flessione

Retta Deviala

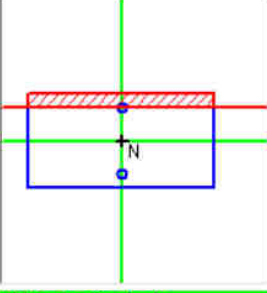
N° rett.

Calcola MRd Dominio M-N

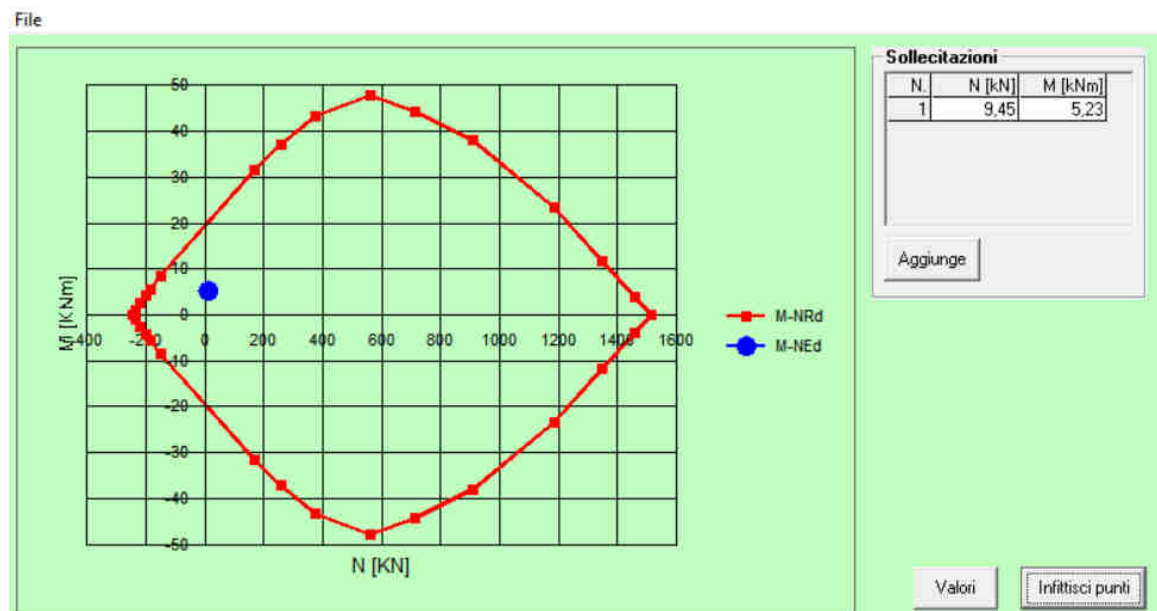
L₀ cm Col. modello

M-curvatura

Precompresso



Domínio M-N



3.4 RELAZIONE DI CALCOLO

ANALISI DEI CARICHI

L' **ANALISI DEI CARICHI** per la determinazione delle forze statiche agenti sulla struttura in esame è stata effettuata in modo tale da pervenire alle condizioni più gravose nei confronti delle verifiche da effettuare.

I carichi d'esercizio assunti a base dei calcoli, oltre il peso proprio delle strutture portanti ed ai sovraccarichi permanenti conformemente alla destinazione specifica dei locali ed a quelli stabiliti dalle NTC 2018 sono stati i seguenti:

CARICHI VERTICALI DISTRIBUITI – STATO di PROGETTO

G+QPS+QPN		25	Kg/mq
VENTO	SOPR	27	Kg/mq
VENTO	SOTT	54	Kg/mq
CARICO NEVE	Qacc	80	Kg/mq

La determinazione delle caratteristiche della sollecitazione provocate nelle strutture è stata effettuata con i **METODI DELLA SCIENZA DELLE COSTRUZIONI**, basati sull'ipotesi dell'elasticità lineare dei materiali e cumulando le condizioni di carico nel modo più sfavorevole.

Tutte le verifiche di resistenza del legno sono state eseguite con l'applicazione del **METODO DEGLI STATI LIMITE** , tenendo conto delle condizioni più gravose possibili di carico.

Le caratteristiche delle azioni sollecitanti ricavate in base alle combinazioni, secondo quanto stabilito al **p.to 2.5.3 del D.M. 17.01.2018** risultano inferiori alle azioni resistenti per tutti gli stati limite previsti dal suddetto decreto

SLU - Combinazine fondamentale

$$\gamma_{G1} G_1 + \gamma_{G2} G_2 + \gamma_P P + \gamma_{Q1} Q_{k1} + \gamma_{Q2} \Psi_{02} Q_{k2} + \gamma_{Q3} \Psi_{03} Q_{k3} + \dots$$

SLE - Combinazine caratteristica (rara) – per tensioni ammissibili

$$G_1 + G_2 + P + Q_{k1} + \Psi_{02} Q_{k2} + \Psi_{03} Q_{k3} + \dots$$

SLE - Combinazine frequente - reversibili

$$G_1 + G_2 + P + \Psi_{11} Q_{k1} + \Psi_{22} Q_{k2} + \Psi_{23} Q_{k3} + \dots$$

SLE - Combinazine quasi permanente – a lungo termine

$$G_1 + G_2 + P + \Psi_{21} Q_{k1} + \Psi_{22} Q_{k2} + \Psi_{23} Q_{k3} + \dots$$

SLU – SLE - Combinazine sismica

$$G_1 + G_2 + P + E + \Psi_{21} Q_{k1} + \Psi_{22} Q_{k2} + \Psi_{23} Q_{k3} + \dots$$

SLU - Combinazine eccezionale

$$G_1 + G_2 + P + A_d + \Psi_{21} Q_{k1} + \Psi_{22} Q_{k2} + \Psi_{23} Q_{k3} + \dots$$

In carichi sopra definiti, una volta definiti e assegnati, vengono combinati (par. 2.5.3) a seconda della categoria dell'azione variabile, e fattorizzati (par. 2.6) a seconda che l'azione che esercita il carico sulla struttura sia a vantaggio o a svantaggio di sicurezza, come riportato nelle seguenti tabelle.

Categoria/Azione variabile	Ψ_{0j}	Ψ_{1j}	Ψ_{2j}
Categoria A – Ambienti ad uso residenziale	0.7	0.5	0.3
Categoria B – Uffici	0.7	0.5	0.3
Categoria C – Ambienti suscettibili di affollamento	0.7	0.7	0.6
Categoria D – Ambienti d uso commerciale	0.7	0.7	0.6
Categoria E – Biblioteche, archivi, magazzini e ambienti industriali	1.0	0.9	0.8
Categoria F – Rimesse e parcheggi (per autoveicoli di peso ≤ 30 kN)	0.7	0.7	0.6
Categoria G – Rimesse e parcheggi (per autoveicoli di peso > 30 kN)	0.7	0.5	0.3
Categoria H – coperture accessibili per sola manutenzione	0.0	0.0	0.0
Categoria I – coperture praticabili	Da valutarsi caso per caso		
Categoria K – coperture per usi speciali (impianti, eliporti...)	caso		
Vento	0.6	0.2	0.0
Neve (a quota ≤ 1000 m s.l.m.)	0.5	0.2	0.0
Neve (a quota > 1000 m s.l.m.)	0.7	0.5	0.2
Variazioni termiche	0.6	0.5	0.0

Tab. 2.5.1 – Valori dei coefficienti di combinazione

		Coefficiente γ_F	EQU	A1 STR	A2 GEO
Carichi permanenti	favorevoli	γ_{G1}	0.9	1.0	1.0
	sfavorevoli		1.1	1.3	1.0
Carichi permanenti non strutturali ⁽¹⁾	favorevoli	γ_{G2}	0.8	0.8	0.8
	sfavorevoli		1.5	1.5	1.3
Carichi variabili	favorevoli	γ_{Qj}	0.0	0.0	0.0
	sfavorevoli		1.5	1.5	1.3
⁽¹⁾ per i carichi permanenti non strutturali compiutamente definiti si possono utilizzare gli stessi coefficienti dei carichi permanenti					

Tab. 2.6.1 – Coefficienti parziali per le azioni o per l'effetto delle azioni nelle verifiche SLU

Nel modello strutturale , non avendo considerato la copertura come elemento rigido per la ripartizione dei carichi, le sollecitazioni sono state applicate direttamente sui vari elementi strutturali in funzione della propria area di influenza.

3.5 FASCICOLO DI CALCOLO

Ciascun elemento strutturale ligneo è stato dimensionato considerando le sollecitazioni ricavate dalla risoluzione dello schema statico.

Si riporta di seguito la tabella delle sollecitazioni agenti e la verifica del elementi principali più sollecitati secondo le NTC 2018.

Sollecitazioni aste

Simbologia

Asta	=	Numero dell'asta
N1	=	Nodo1
N2	=	Nodo2
X	=	Coordinata progressiva rispetto al nodo iniziale

- N = Sforzo normale
- CC = Numero della combinazione delle condizioni di carico elementari
- Ty = Taglio in dir. Y
- Mz = Momento flettente intorno all'asse Z
- Tz = Taglio in dir. Z
- My = Momento flettente intorno all'asse Y
- Mx = Momento torcente intorno all'asse X

Asta	N1	N2	X <cm>	N <kg>	CC	Ty <kg>	CC	Mz <kgm>	CC	Tz <kg>	CC	My <kgm>	CC	Mx <kg m>	CC
1	1	101 Max	0.00	-304.60	7	416.54	7	522.96	7	236.54	1	702.54	1	0.00	7
1	1	101 Max	244.00	-204.20	7	416.54	7	460.85	7	236.54	1	158.38	1	0.00	7
1	1	101 Min.	0.00	-942.85	7	-379.52	7	-555.52	7	-559.52	1	-418.76	1	0.00	7
1	1	101 Min.	244.00	-842.45	7	-379.52	7	-403.06	7	-559.52	1	-662.69	1	0.00	7
2	2	102 Max	0.00	-304.60	7	416.54	7	522.96	7	559.52	1	418.76	1	0.00	7
2	2	102 Max	244.00	-204.20	7	416.54	7	460.85	7	559.52	1	662.69	1	0.00	7
2	2	102 Min.	0.00	-942.85	7	-379.52	7	-555.52	7	-236.54	1	-702.54	1	0.00	7
2	2	102 Min.	244.00	-842.45	7	-379.52	7	-403.06	7	-236.54	1	-158.38	1	0.00	7
3	3	103 Max	0.00	-304.60	7	379.52	7	555.52	7	236.54	1	702.54	1	0.00	7
3	3	103 Max	244.00	-204.20	7	379.52	7	403.06	7	236.54	1	158.38	1	0.00	7
3	3	103 Min.	0.00	-942.85	7	-416.54	7	-522.96	7	-559.52	1	-418.76	1	0.00	7
3	3	103 Min.	244.00	-842.45	7	-416.54	7	-460.85	7	-559.52	1	-662.69	1	0.00	7
4	4	104 Max	0.00	-304.60	7	379.52	7	555.52	7	559.52	1	418.76	1	0.00	7
4	4	104 Max	244.00	-204.20	7	379.52	7	403.06	7	559.52	1	662.69	1	0.00	7
4	4	104 Min.	0.00	-942.85	7	-416.54	7	-522.96	7	-236.54	1	-702.54	1	0.00	7
4	4	104 Min.	244.00	-842.45	7	-416.54	7	-460.85	7	-236.54	1	-158.38	1	0.00	7
101	101	102 Max	13.00	-161.50	1	0.00	7	0.00	7	587.93	14	251.99	1	0.00	7
101	101	102 Max	302.22									495.28	14		
101	101	102 Max	587.00	-161.50	1	0.00	7	0.00	7	-237.71	1	251.99	1	0.00	7
101	101	102 Min.	13.00	-230.34	13	0.00	7	0.00	7	237.71	1	-731.51	1	0.00	7
101	101	102 Min.	420.22									38.24	1		
101	101	102 Min.	587.00	-230.34	13	0.00	7	0.00	7	-587.93	13	-731.52	1	0.00	7
102	103	104 Max	13.00	-161.50	1	0.00	7	0.00	7	587.93	14	251.99	1	0.00	7
102	103	104 Max	302.22									495.28	14		
102	103	104 Max	587.00	-161.50	1	0.00	7	0.00	7	-237.71	1	251.99	1	0.00	7
102	103	104 Min.	13.00	-230.34	13	0.00	7	0.00	7	237.71	1	-731.51	1	0.00	7
102	103	104 Min.	420.22									38.24	1		
102	103	104 Min.	587.00	-230.34	13	0.00	7	0.00	7	-587.93	13	-731.52	1	0.00	7
103	101	103 Max	13.00	74.20	13	0.00	7	0.00	7	347.24	7	477.63	7	0.00	7
103	101	103 Max	269.75									62.14	3		
103	101	103 Max	387.00	74.20	13	0.00	7	0.00	7	346.73	16	477.63	7	0.00	7
103	101	103 Min.	13.00	-18.51	1	0.00	7	0.00	7	-335.77	15	-523.65	7	0.00	7
103	101	103 Min.	206.45									13.56	21		
103	101	103 Min.	387.00	-18.51	1	0.00	7	0.00	7	-347.24	7	-523.65	7	0.00	7
104	102	104 Max	13.00	74.20	13	0.00	7	0.00	7	347.24	7	477.63	7	0.00	7
104	102	104 Max	269.75									62.14	3		
104	102	104 Max	387.00	74.20	13	0.00	7	0.00	7	346.73	16	477.63	7	0.00	7

104 102 104 Min.	13.00	-18.51	1	0.00	7	0.00	7	-335.77	15	-523.65	7	0.00	7
104 102 104 Min.	206.45									13.56	21		
104 102 104 Min.	387.00	-18.51	1	0.00	7	0.00	7	-347.24	7	-523.65	7	0.00	7

Aluminium Hollow Section - Extrude Tube - no weld

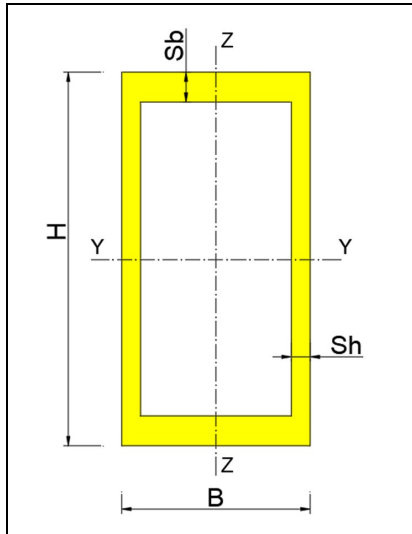
N - mm Kg - cm

Input	
Alluminiumm	Class A
fo	2150 Kg/cm ²
fu	1954,545455 Kg/cm ²
γ/m1	1,1
γ/m2	1,25
Geometry	
B	13 cm
H	13 cm
Sb	0,3 cm
Sh	0,3 cm
Loads	
N	942 Kg
Ty	380 Kg
Tz	560 Kg
My	55552 Kg*cm
Mz	41876 Kg*cm

Verifica Sezione

Output - Risultati

Area	15,24 cm ²
Iy	409,9052 cm ⁴
Iz	409,9052 cm ⁴
Wy	63,06233846 cm ³
Wz	63,06233846 cm ³
Wpl,y	72,594 mm ³
Wpl,z	72,594 mm ³



Reset OutPut

Spessori-Inerzie

Classificazione Sezione	
Classe	4

Fattore di riduzione	
ρc	0,685099359

Aeff	10,44 cm ²
Avy	7,44 cm ²
Avz	7,44 cm ²

Sollecitazioni Resistenti	
Nc,Rd	20407,24145 Kg
VRd,y	10086,4266 Kg
VRd,z	10086,4266 Kg

Weff,y	44,16204502 cm ³
Weff,z	44,16204502 cm ³
McRd,y	86316,72436 Kg*cm
McRd,z	86316,72436 Kg*cm

Coefficienti e Parametri	
βH	41,33333
βB	41,33333
β	41,33333

ε	1,078328
---	----------

	β1	β2	β3
Class A	11,86161	17,25324	23,72321
Class B			

β < β1	→ Class 1
β1 < β < β2	→ Class 2
β2 < β < β3	→ Class 3
β > β3	→ Class 4

Classificazione Sezione	
Classe	4

Fattore di riduzione	
ρc	0,685099359

Aeff	10,44 cm ²
Avy	7,44 cm ²
Avz	7,44 cm ²

Sollecitazioni Resistenti	
Nc,Rd	20407,24145 Kg
VRd,y	10086,4266 Kg
VRd,z	10086,4266 Kg

VERIFICHE

Verifica N	
N Ed / Nc,Rd < 1	0,04616 OK

Verifica Vy	
Vy Ed / VRd < 1	0,037674 OK

Verifica Vz	
Vz Ed / VRd < 1	0,05552 OK

Verifica N - My - Mz	
N+ (My+Mz) < 1	0,869969 OK

$$\left(\frac{N_{Ed}}{\omega_0 N_{Rd}} \right)^{\psi} + \left[\left(\frac{M_{y,Ed}}{\omega_0 M_{y,Rd}} \right)^{1,7} + \left(\frac{M_{z,Ed}}{\omega_0 M_{z,Rd}} \right)^{1,7} \right]^{0,6} \leq 1,00$$

GUIDE - UTILIZZO DEL FOGLIO:

INPUT:
fo, fu - resistenze Elastica e Ultima Alluminio
γm1, γm2- coeff. di sicurezza
N - Axial Load - Compression - Sforzo Normale
Ty - Shear along Y - Taglio parallelo a Y
Tz - Shear along Z - Taglio parallelo a Z
My - Bending around Y - Momento a Y
Mz - Bending around Z - Momento a Z

OUTPUT:
Classe - Class Section (1,2,3, or 4)
ρc - Reduction Factor
Nc,Rd - Cmpression Resistance
Vrd,y - Shear Resistance Y
Vrd,z - Shear Resistance Z
McRd,y - Bending Resistance Y
McRd,z - Bending Resistance Z

Weff,y Effective Elastic Modulus Y
Weff,z Effective Elastic Modulus Z

Verifica: Soll / Resist < 1 -> OK
Soll / Resist > 1 -> KO

EC9 -Tab. 6.2

	β1 / ε	β2 / ε	β3 / ε
Class A	11	16	22
Class B	13	16,5	18

Classe A o B a seconda del Materiale
Vedere EC9 tab 3.2 colonna BC. (Buckling Class)

$W_{eff,y}$	44,16204502	cm ³
$W_{eff,z}$	44,16204502	cm ³
$McRd,y$	86316,72436	Kg*cm
$McRd,z$	86316,72436	Kg*cm

Verifica N<1 **0,046160085** OK
 Verifica Vy<1 **0,037674393** OK
 Verifica Vz<1 **0,055520158** OK
 Verifica (N+M)<1 **0,86996873** OK vedi EC9 6.2.9.2

ρ_c	$\beta < \beta_3 \rightarrow$ Class 1, 2, 3	Vedi EC9 - 6.1.5
ρ_c 0,685099	$\beta > \beta_3 \rightarrow$ Class 4	

W_{eff}	Mod. Elastico calcolato con spess. ridotto da ρ_c
-----------	--

6.2.4 Compression

(1)P The design value of the axial compression force N_{Ed} shall satisfy:

$$\frac{N_{Ed}}{N_{c,Rd}} \leq 1,0 \quad (6.20)$$

(2) The design resistance for uniform compression $N_{c,Rd}$ should be taken as the lesser of $N_{u,Rd}$ and $N_{c,Rd}$ where :

a) in sections with unfilled holes $N_{u,Rd} = A_{net} f_u / \gamma_{M2}$ (6.21)

b) other sections $N_{c,Rd} = A_{eff} f_o / \gamma_{M1}$ (6.22)

in which:

A_{net} is the net section area, with deductions for unfilled holes and HAZ softening if necessary. See 6.2.2.2. For holes located in reduced thickness regions the deduction may be based on the reduced thickness, instead of the full thickness.

A_{eff} is the effective section area based on reduced thickness allowing for local buckling and HAZ softening but ignoring unfilled holes.

6.2.6 Shear

(1)P The design value of the shear force V_{Ed} at each cross-section shall satisfy:

$$\frac{V_{Ed}}{V_{Rd}} \leq 1,0$$

$$V_{Rd} = A_v \frac{f_o}{\sqrt{3} \gamma_{M1}} \quad (6.29)$$

where A_v is the shear area, taken as:

a) For sections containing shear webs

$$A_v = \sum_{i=1}^n [(h_w - \sum d)(t_w)_i - (1 - \rho_{o,haz}) b_{haz} (t_w)_i] \quad (6.30)$$

where:

h_w is the depth of the web between flanges.

b_{haz} is the total depth of HAZ material occurring between the clear depth of the web between flanges. For sections with no welds, $\rho_{o,haz} = 1$. If the HAZ extends the entire depth of the web

panel $b_{haz} = h_w - \sum d$

t_w is the web thickness

Aluminium Hollow Section - Extrude Tube - no weld

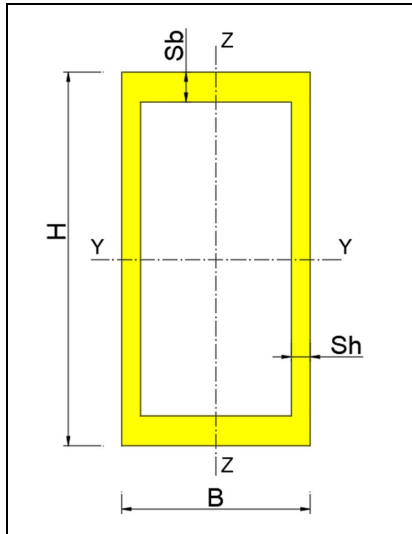
N - mm Kg - cm

Input	
Alluminiumm	Class A
fo	2150 Kg/cm ²
fu	1954,545455 Kg/cm ²
γ/m1	1,1
γ/m2	1,25
Geometry	
B	6 cm
H	26 cm
Sb	0,3 cm
Sh	0,3 cm
Loads	
N	234 Kg
Ty	237 Kg
Tz	0 Kg
My	73100 Kg*cm
Mz	0 Kg*cm

Verifica Sezione

Output - Risultati

Area	18,84 cm ²
Iy	1413,8212 cm ⁴
Iz	134,7012 cm ⁴
Wy	108,7554769 cm ³
Wz	44,9004 cm ³
Wpl,y	143,034 mm ³
Wpl,z	48,834 mm ³



Reset OutPut

Spessori-Inerzie

Classificazione Sezione	
Classe	4

Fattore di riduzione	
ρc	0,37187082

Aeff	7,01 cm ²
Avy	3,24 cm ²
Avz	15,24 cm ²

Sollecitazioni Resistenti	
Nc,Rd	13693,63586 Kg
VRd,y	4392,4761 Kg
VRd,z	20660,9061 Kg

Weff,y	41,75144875 cm ³
Weff,z	17,95925841 cm ³
McRd,y	81605,10438 Kg*cm
McRd,z	35102,1869 Kg*cm

Classificazione Sezione	
Classe	4

Fattore di riduzione	
ρc	0,37187082

Aeff	7,01 cm ²
Avy	3,24 cm ²
Avz	15,24 cm ²

Sollecitazioni Resistenti	
Nc,Rd	13693,63586 Kg
VRd,y	4392,4761 Kg
VRd,z	20660,9061 Kg

Coefficienti e Parametri

β ^H	84,66667
β ^B	18
β	84,66667

ε	1,078328
---	----------

	β ₁	β ₂	β ₃
Class A	11,86161	17,25324	23,72321
Class B			

β < β ₁	→ Class 1
β ₁ < β < β ₂	→ Class 2
β ₂ < β < β ₃	→ Class 3
β > β ₃	→ Class 4

VERIFICHE

Verifica N	
N Ed / Nc,Rd < 1	0,017088 OK

Verifica Vy	
Vy Ed / VRd < 1	0,053956 OK

Verifica Vz	
Vz Ed / VRd < 1	0 OK

Verifica N - My - Mz	
N+ (My+Mz) < 1	0,898848 OK

$$\left(\frac{N_{Ed}}{\omega_0 N_{Rd}} \right)^{\psi} + \left[\left(\frac{M_{y,Ed}}{\omega_0 M_{y,Rd}} \right)^{1,7} + \left(\frac{M_{z,Ed}}{\omega_0 M_{z,Rd}} \right)^{1,7} \right]^{0,6} \leq 1,00$$

GUIDE - UTILIZZO DEL FOGLIO:

INPUT:
fo, fu - resistenze Elastica e Ultima Alluminio
γm1, γm2- coeff. di sicurezza
N - Axial Load - Compression - Sforzo Normale
Ty - Shear along Y - Taglio parallelo a Y
Tz - Shear along Z - Taglio parallelo a Z
My - Bending around Y - Momento a Y
Mz - Bending around Z - Momento a Z

OUTPUT:
Classe - Class Section (1,2,3, or 4)
ρc - Reduction Factor
Nc,Rd - Cmpression Resistance
Vrd,y - Shear Resistance Y
Vrd,z - Shear Resistance Z
McRd,y - Bending Resistance Y
McRd,z - Bending Resistance Z

Weff,y Effective Elastic Modulus Y
Weff,z Effective Elastic Modulus Z

Verifica: Soll / Resist < 1 -> OK
Soll / Resist > 1 -> KO

EC9 -Tab. 6.2

	β ₁ / ε	β ₂ / ε	β ₃ / ε
Class A	11	16	22
Class B	13	16,5	18

Classe A o B a seconda del Materiale
Vedere EC9 tab 3.2 colonna BC. (Buckling Class)

$W_{eff,y}$	41,75144875	cm ³
$W_{eff,z}$	17,95925841	cm ³
$McRd,y$	81605,10438	Kg*cm
$McRd,z$	35102,1869	Kg*cm

Verifica N<1 0,01708823 OK
 Verifica Vy<1 0,0539559 OK
 Verifica Vz<1 0 OK
 Verifica (N+M)<1 0,898848499 OK vedi EC9 6.2.9.2

ρ_c	$\beta < \beta_3 \rightarrow$ Class 1, 2, 3	Vedi EC9 - 6.1.5
ρ_c	0,371871 $\beta > \beta_3 \rightarrow$ Class 4	

W_{eff}	Mod. Elastico calcolato con spess. ridotto da ρ_c
-----------	--

6.2.4 Compression

(1)P The design value of the axial compression force N_{Ed} shall satisfy:

$$\frac{N_{Ed}}{N_{c,Rd}} \leq 1,0 \quad (6.20)$$

(2) The design resistance for uniform compression $N_{c,Rd}$ should be taken as the lesser of $N_{u,Rd}$ and $N_{c,Rd}$ where :

a) in sections with unfilled holes $N_{u,Rd} = A_{net} f_u / \gamma_{M2}$ (6.21)

b) other sections $N_{c,Rd} = A_{eff} f_o / \gamma_{M1}$ (6.22)

in which:

A_{net} is the net section area, with deductions for unfilled holes and HAZ softening if necessary. See 6.2.2.2. For holes located in reduced thickness regions the deduction may be based on the reduced thickness, instead of the full thickness.

A_{eff} is the effective section area based on reduced thickness allowing for local buckling and HAZ softening but ignoring unfilled holes.

6.2.6 Shear

(1)P The design value of the shear force V_{Ed} at each cross-section shall satisfy:

$$\frac{V_{Ed}}{V_{Rd}} \leq 1,0$$

$$V_{Rd} = A_v \frac{f_o}{\sqrt{3} \gamma_{M1}} \quad (6.29)$$

where A_v is the shear area, taken as:

a) For sections containing shear webs

$$A_v = \sum_{i=1}^n [(h_w - \sum d)(t_w)_i - (1 - \rho_{o,haaz})b_{haaz}(t_w)_i] \quad (6.30)$$

where:

h_w is the depth of the web between flanges.

b_{haaz} is the total depth of HAZ material occurring between the clear depth of the web between flanges. For sections with no welds, $\rho_{o,haaz} = 1$. If the HAZ extends the entire depth of the web panel $b_{haaz} = h_w - \sum d$

t_w is the web thickness

Aluminium Hollow Section - Extrude Tube - no weld

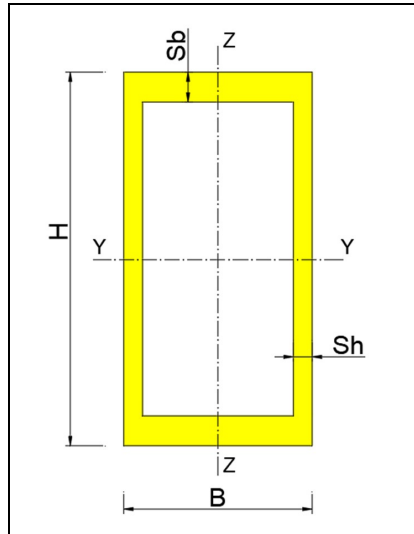
N - mm Kg - cm

Input	
Alluminiumm	Class A
fo	2150 Kg/cm ²
fu	1954,545455 Kg/cm ²
γ/m1	1,1
γ/m2	1,25
Geometry	
B	5,2 cm
H	8 cm
Sb	0,3 cm
Sh	0,3 cm
Loads	
N	0 Kg
Ty	120 Kg
Tz	0 Kg
My	12000 Kg*cm
Mz	0 Kg*cm

Verifica Sezione

Output - Risultati

Area	7,56 cm ²
Iy	66,5308 cm ⁴
Iz	33,7148 cm ⁴
Wy	16,6327 cm ³
Wz	12,96723077 cm ³
Wpl,y	20,226 mm ³
Wpl,z	14,934 mm ³



Reset OutPut

Spessori-Inerzie

Classificazione Sezione	
Classe	4

Fattore di riduzione	
ρc	0,978472357

Aeff	7,4 cm ²
Avy	2,76 cm ²
Avz	4,44 cm ²

Sollecitazioni Resistenti	
Nc,Rd	14458,26336 Kg
VRd,y	3741,7389 Kg
VRd,z	6019,3191 Kg

Weff,y	16,31937661 cm ³
Weff,z	12,73157324 cm ³
McRd,y	31896,96337 Kg*cm
McRd,z	24884,4386 Kg*cm

Classificazione Sezione	
Classe	4

Fattore di riduzione	
ρc	0,978472357

Aeff	7,4 cm ²
Avy	2,76 cm ²
Avz	4,44 cm ²

Sollecitazioni Resistenti	
Nc,Rd	14458,26336 Kg
VRd,y	3741,7389 Kg
VRd,z	6019,3191 Kg

Coefficienti e Parametri

β ^H	24,66667
β ^B	15,33333
β	24,66667

ε	1,078328
---	----------

	β ₁	β ₂	β ₃
Class A	11,86161	17,25324	23,72321
Class B			

β < β ₁	→ Class 1
β ₁ < β < β ₂	→ Class 2
β ₂ < β < β ₃	→ Class 3
β > β ₃	→ Class 4

VERIFICHE

Verifica N	
N Ed / Nc,Rd < 1	0 OK

Verifica Vy	
Vy Ed / VRd < 1	0,032071 OK

Verifica Vz	
Vz Ed / VRd < 1	0 OK

Verifica N - My - Mz	
N+ (My+Mz) < 1	0,368927 OK

$$\left(\frac{N_{Ed}}{\omega_0 N_{Rd}} \right)^{\psi} + \left[\left(\frac{M_{y,Ed}}{\omega_0 M_{y,Rd}} \right)^{1,7} + \left(\frac{M_{z,Ed}}{\omega_0 M_{z,Rd}} \right)^{1,7} \right]^{0,6} \leq 1,00$$

GUIDE - UTILIZZO DEL FOGLIO:

INPUT:
fo, fu - resistenze Elastica e Ultima Alluminio
γm1, γm2- coeff. di sicurezza
N - Axial Load - Compression - Sforzo Normale
Ty - Shear along Y - Taglio parallelo a Y
Tz - Shear along Z - Taglio parallelo a Z
My - Bending around Y - Momento a Y
Mz - Bending around Z - Momento a Z

OUTPUT:
Classe - Class Section (1,2,3, or 4)
ρc - Reduction Factor
Nc,Rd - Cmpression Resistance
Vrd,y - Shear Resistance Y
Vrd,z - Shear Resistance Z
McRd,y - Bending Resistance Y
McRd,z - Bending Resistance Z

Weff,y Effective Elastic Modulus Y
Weff,z Effective Elastic Modulus Z

Verifica: Soll / Resist < 1 -> OK
Soll / Resist > 1 -> KO

EC9 -Tab. 6.2

	β ₁ / ε	β ₂ / ε	β ₃ / ε
Class A	11	16	22
Class B	13	16,5	18

Classe A o B a seconda del Materiale
Vedere EC9 tab 3.2 colonna BC. (Buckling Class)

4. GAZEBO OTTAGONALE LIGNEO

Trattasi di una struttura lignea ideale per proteggersi dal sole e dalla pioggia o attività scolastica all'aperto e quant'altro attività come relax, picnic, parchi giochi e socializzazione all'aperto. Il gazebo ha sezione ottagonale diametro 490cm ed altezza sotto trave 4.20ml.

E' composto da 8 pilastri ciascuno composto da due elementi verticali lignei sezione 9x9 ed è tutta realizzata in legno lamellare BS11/GLH24.

I pilastri sono collegati in testa da puntoni inclinati sezione 7x14 e travi di banchina a quota gronda formate con listoni 4.5x11.50.

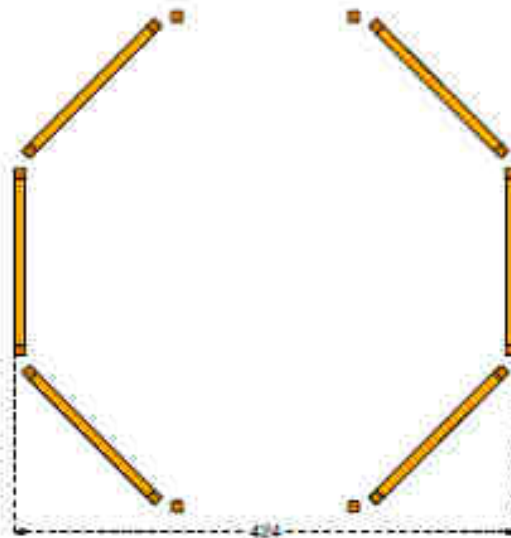
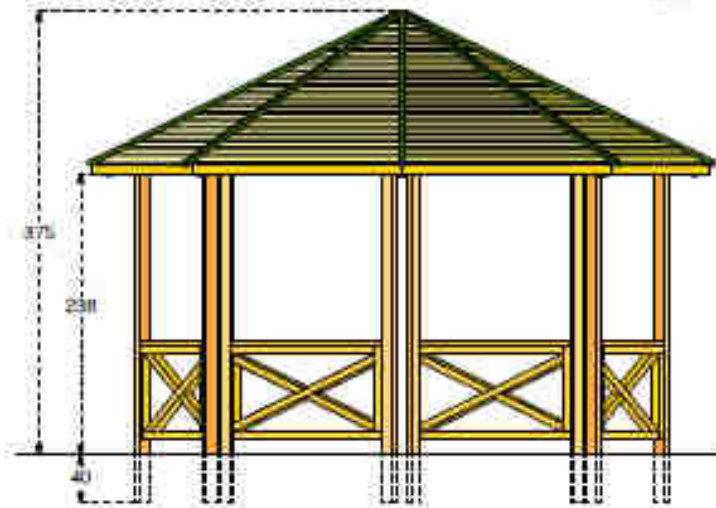
Alla base il gazebo ha un pavimento ligneo formato da listoni 3.5x14 appoggiati su megatelli 11.5x4.5.

La fondazione del gazebo è realizzata mediante platea gettata in opera opportunamente dimensionata. Gli elementi verticali del gazebo sono vincolati alla platea di base mediante piastre di ancoraggio metalliche a U come da dettaglio esecutivo allegato.

Internamente al gazebo sono fornite anche delle sedute anche queste lignee con relativo telaio di appoggio.

I nodi di collegamento tra gli elementi lignei sono realizzati mediante piastre metalliche a scomparsa e bulloni passanti.

Cod. 011197 GAZEBO OTTAGONALE YOUNG
LEGNOLANDIA Rev. 0



4.1 RELAZIONE DI CALCOLO GAZEBO OTTAGONALE

Dal punto di vista strutturale l'intervento si configura come nuova costruzione ai sensi delle NTC 2018.

Il manufatto è stato dimensionato considerando la sovrastruttura incastrata alla base e sollecitata da vento, neve e sisma nelle combinazioni di carico previste dalla normativa.

Le sollecitazioni ricavate poi dalla verifica dinamica della sovrastruttura sono state poi applicate alla platea sottostante per il dimensionamento della stessa e per la verifica della portanza del terreno.

La sovrastruttura è stata dimensionata mediante l'ausilio di un modellatore strutturale Modest e sono stati sulla stessa applicati i carichi neve e vento come da normativa vigente.

Ipotesi progettuali comuni a tutti i manufatti dimensionati sono:

- $q=1$
- Classe III: Costruzioni il cui uso preveda affollamenti significativi - SCUOLE

Simbologia

TCC = Tipo di combinazione di carico

SLU = Stato limite ultimo

SLU S = Stato limite ultimo (azione sismica)

SLE R = Stato limite d'esercizio, combinazione rara

SLE F = Stato limite d'esercizio, combinazione frequente

SLE Q = Stato limite d'esercizio, combinazione quasi permanente

SLD = Stato limite di danno

SLV = Stato limite di salvaguardia della vita

SLC = Stato limite di prevenzione del collasso

SLO = Stato limite di operatività

Ag = Accelerazione orizzontale massima al sito

FO = Valore massimo del fattore di amplificazione dello spettro in accelerazione orizzontale

TC* = Periodo di inizio del tratto a velocità costante dello spettro in accelerazione orizzontale

TCC	Ag	FO	TC*
SLO	0.5491	2.57	0.26
SLD	0.6606	2.58	0.27
SLV	1.5270	2.40	0.31

- Tipo di opera: Opera ordinaria
- Vita nominale V_N : 50.00
- Classe d'uso: classe III
- SL Esercizio: SLO-Pvr 81.00, SLD-Pvr 63.00
- SL Ultimi: SLV-Pvr 10.00, SLC-Pvr no
- Classe di duttilità: classe B
- Quota di riferimento: 0.00 <m>
- Altezza della struttura: 3.75 <m>
- Numero piani edificio: 1
- Coefficiente θ : 0
- Edificio regolare in altezza: si
- Edificio regolare in pianta: si

- Forze orizzontali convenzionali per stati limite non sismici: 1.00%
- Categoria del suolo di fondazione: C
- Tipologia edificio: legno a portali iperstatici in classe B

Coeff. C_1	0.05
Periodo T_1	0.1347
	4
Coeff. λ SLO	1.00
Coeff. λ SLD	1.00
Coeff. λ SLV	1.00
Rapporto di sovrarresistenza (α_u/α_1)	--
Fattore riduttivo (K_w)	1.00
Fattore di struttura (q)	1.00

- Categoria topografica: T1 - Superficie pianeggiante, pendii e rilievi isolati con inclinazione media $i \leq 15^\circ$
- Coeff. amplificazione topografica: 1.00
- Fattore di struttura per sisma verticale (q_v): 1.50
- Modi da calcolare: 3
- Modi da considerare: tali da movimentare una percentuale di massa pari a 85.00%
- Smorzamento spettro: 5.00

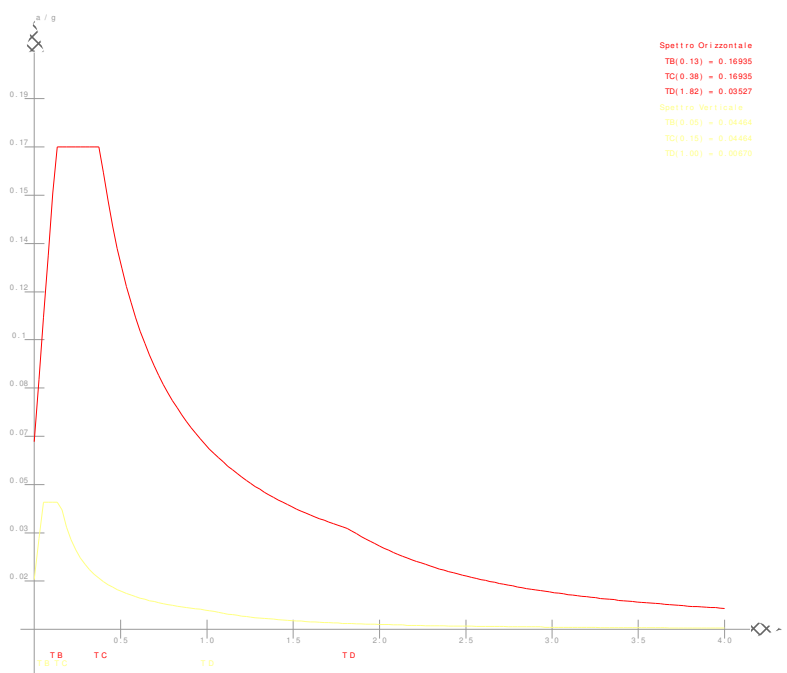


Figura numero 1: Spettro allo SLO

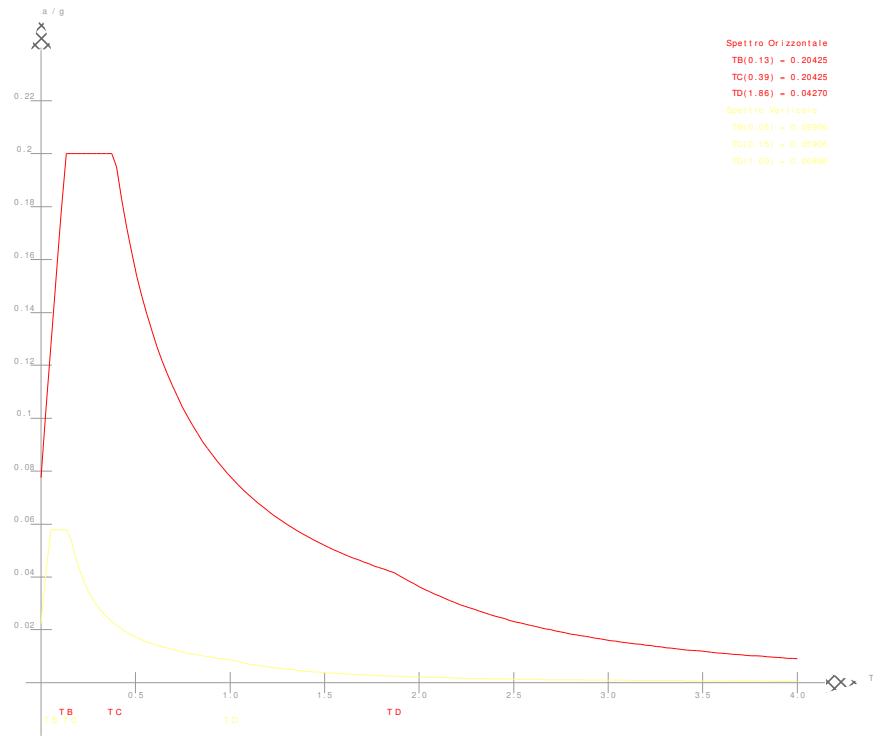


Figura numero 2: Spettro allo SLD

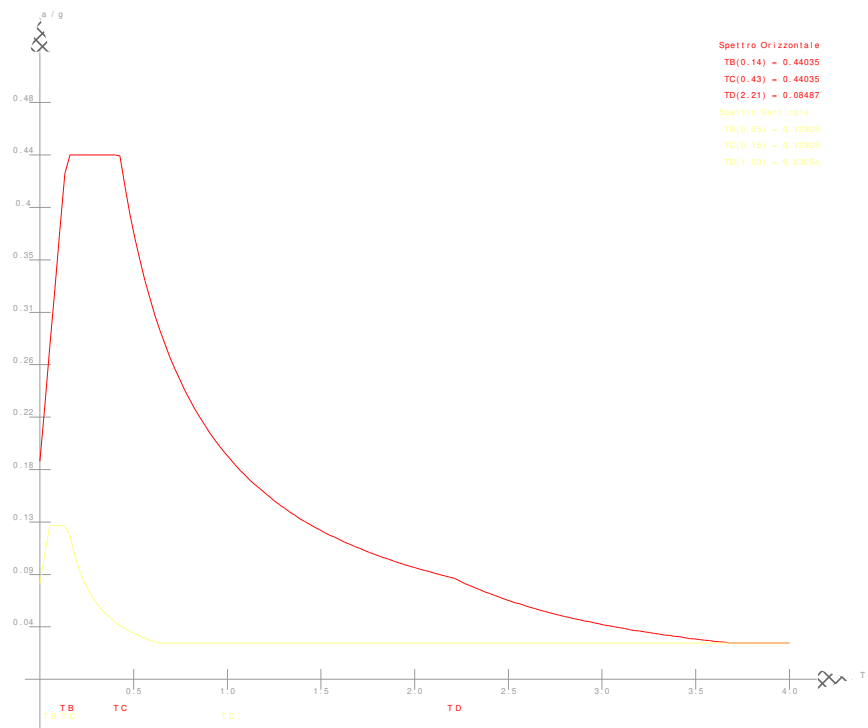
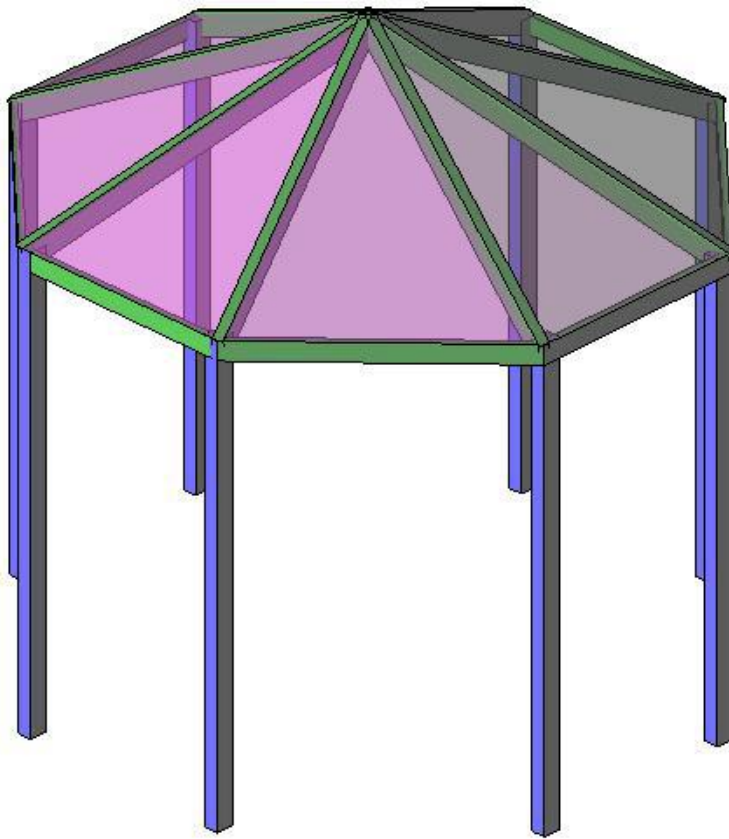


Figura numero 3: Spettro allo SLV

- Angolo di ingresso del sisma: 0.00 <grad>



4.2 RELAZIONE SUI MATERIALI

Acciaio per c.a. in barre ad aderenza migliorata:

Tensione di snervamento:

B450C

$$f_{yk} \geq 4500 \text{ Kg/cm}^2$$

Conglomerato cementizio armato per strutture di fondazione:

C28/35

Classe di consistenza S4,

Dimensione max inerte < 24 mm

Resistenza di progetto a compressione:

$$f_{cd} = 158.7 \text{ Kg/cm}^2$$

Resistenza di progetto a trazione:

$$f_{ctd} = 12.9 \text{ Kg/cm}^2$$

Classe di esposizione XC2

Da tabella 4.1.III delle NTC condizioni ambientali ordinarie:

copriferro ≥ 25 mm

Acciaio da carpenteria

Tutti gli elementi dovranno avere un modulo di elasticità non inferiore a 206000 N/mmq.

Profilati, larghi piatti, barre e lamiere

Acciaio tipo S 235 con le seguenti caratteristiche:

Tensione caratteristica di snervamento

≥ 235 N/mmq

Tensione di rottura a trazione

≥ 390 N/mmq

Allungamento percentuale a rottura per lamiere

$\geq 24\%$

Allungamento percentuale a rottura per barre, laminati, profilati e larghi piatti

$\geq 26\%$

Bulloneria

Classe 4.6

LEGNO LAMELLARE

Valori caratteristici delle proprietà di resistenza e rigidità espressi in N/mm² e delle masse volumiche in kg/m³.

Classe di resistenza del legno lamellare		GL 24h	GL 28c	GL 32c
Resistenza alla flessione	$f_{m,g,k}$	24	28	36
Resistenza alla trazione	$f_{t,0,g,k}$	16,5	16,5	19
	$f_{t,90,g,k}$		0,5	
Resistenza alla pressione	$f_{c,0,g,k}$	24	24	26,5
	$f_{c,90,g,k}$	2,7	2,7	3,0
Resistenza al taglio	$f_{v,g,k}^a)$		2,5	
Modulo di elasticità	$E_{0,g,mean}^c)$	11.600	12.600	13.700
	$E_{90,g,mean}^c)$	390	390	420
Modulo di taglio	$G_{g,mean}^b)c)$	720	720	780
Masse volumiche	$\rho_{g,k}$	380	380	410

a) La resistenza caratteristica al taglio perpendicolare alla fibratura $f_{g,R,k}$ può essere calcolata per tutte le classi di resistenza a 1,0 N/mm².
 b) Il modulo di taglio relativo alla sollecitazione del taglio perpendicolare alla fibratura dev'essere assunto con $G_{g,R,k} = 0,10 G_{g,mean}$
 c) Per i valori caratteristici di riferimento di rigidità $E_{g,0.05}$; $E_{g,90,0.05}$ e $G_{g,0.05}$ valgono i valori di calcolo $E_{g,0.05} = 5/6 E_{g,0,mean}$; $E_{g,90,0.05} = 5/6 E_{g,90,mean}$; $G_{g,0.05} = 5/6 G_{g,mean}$

DIN 1052-1/A1: 1996-10	DIN 1052: 2008-10
BS 11	GL 24h1) GL 24c2)
BS 14	GL 28h1) GL 28c2)
BS 16	GL 32h1) GL 32c2)
BS 18	GL 36h1) GL 36c2)
1) h = struttura omogenea 2) c = struttura combinata	

4.3 RELAZIONE DI FONDAZIONE

Di seguito si procede al calcolo della tensione trasmessa dalla struttura astiforme a alla platea di fondazione.

Dall'analisi delle reazioni vincolari alla base di ciascun elemento portante verticale si procede al dimensionamento della platea di fondazione ed al calcolo della tensione massima trasmessa da questa al terreno sottostante.

Si è proceduto ad una doppia verifica: la verifica STRU della platea e la verifica GEO con la quale si è ricavato il valore del carico massimo sul terreno da confrontare con il carico limite indicato nella relazione geologico-tecnica allegata alla presente pratica.

Reazioni vincolari

Simbologia

Nodo	=	Numero del nodo
Rx	=	Reazione vincolare (forza) in dir. X
CC	=	Numero della combinazione delle condizioni di carico elementari
Ry	=	Reazione vincolare (forza) in dir. Y
Rz	=	Reazione vincolare (forza) in dir. Z
Mx	=	Reazione vincolare (momento) intorno all'asse X
My	=	Reazione vincolare (momento) intorno all'asse Y
Mz	=	Reazione vincolare (momento) intorno all'asse Z

Nodo	Rx <kg>	CC	Ry <kg>	CC	Rz <kg>	CC	Mx <kgm>	CC	My <kgm>	CC	Mz <kgm>	CC
1 Max	5.51	1	55.88	16	128.79	7	-2.04	7	7.12	1	0.01	7
1 Min.	-30.42	13	4.25	7	-45.00	15	-20.18	16	-44.48	13	-5.45	13
2 Max	1.83	1	26.05	16	128.79	7	31.66	15	3.62	1	0.01	7

2 Min.	-29.22	13	4.25	7	-27.94	15	-12.70	7	-43.28	13	-5.95	13
3 Max	8.92	1	78.76	16	125.04	1	2.75	7	10.38	1	0.00	7
3 Min.	-11.01	13	-0.78	7	17.36	17	-56.37	16	-18.20	13	-5.61	16
4 Max	-2.17	1	6.72	7	125.04	1	166.74	15	-0.16	1	0.02	7
4 Min.	-13.79	13	-192.03	15	28.34	18	-8.68	7	-20.54	13	-5.82	15
5 Max	24.41	14	71.19	16	226.59	14	7.96	7	27.38	14	0.05	1
5 Min.	2.43	1	-6.23	7	115.11	1	-49.44	16	0.39	1	-5.62	14
6 Max	9.99	14	1.35	7	125.18	1	163.16	15	14.26	14	-0.02	1
6 Min.	-9.17	1	-188.26	15	31.73	18	-3.58	7	-10.63	1	-6.09	14
7 Max	24.08	14	-4.77	7	131.01	7	86.52	15	36.16	14	0.04	1
7 Min.	-1.50	1	-140.71	15	26.78	20	2.23	7	-3.35	1	-6.30	14
8 Max	25.96	14	-4.77	7	131.01	7	126.17	15	37.98	14	0.00	1
8 Min.	-5.93	1	-164.48	15	-8.70	16	2.23	7	-7.55	1	-6.08	14

VERIFICA GEO DELLA PLATEA

PLATEA					
GEOMETRIA					
Dimensioni	(cm)	bx	by	Bx	By
		18	18	30	30
H	(cm)	20			
copriferro	(cm)	3			
d	(cm)	17			
SOLLECITAZIONI - MATERIALI					
Azioni agenti SLU (KN-KNm)		Nsd	Msd_x	Msd_y	
		3	0,08	0,3	
PRESSIONI					
Pressioni sul terreno	MPa	σ_1	σ_2	σ_3	σ_4
		0,111	-0,039	0,071	-0,079

CAPACITA' PORTANTE - METODO DI TERZAGHI GENERALIZZATO

APPROCCIO 2 (A1 + M1 + R3)

azioni incrementate, parametrici geotecnici invariati, resistenze ridotte

GammaG1 (*)	1,3	gammaM
GammaG2 (*)	1,5	gammaR
GammaQ (*)	1,5	Kh sismico

VERIFICA ALLO SLU DI TIPO GEOTECNICO

CALCOLO DEL CARICO LIMITE INSIEME FONDAZIONE-TERRENO

Dati terreno

angolo d'attrito fi	gradi	26
peso specifico 1	t/mc	1,70
peso specifico 2	t/mc	1,80
coesione c'	t/mq	0,00
inclinazione del pendio	gradi	0 ok

profondità della falda dw	m	100
tipo di terreno	C/A	PD
Geometria fondazione		
profondità di posa D	m	0,40
base B	m	1,00
lunghezza L (L>B)	m	1,00
eccentricità Eb	m	0,00
eccentricità EI	m	0,00
inclinazione del carico effettiva	gradi	0,00

Dati di calcolo

inclinazione del carico sismica	gradi	3,60
inclinazione del carico totale	gradi	3,60487
B" (= B o B')	m	1
L" (= L o L')	m	1
c" (= c o c*)	t/mq	0,00
fi" (= fi o fi*)	gradi	26
Nq		11,85
Ng		12,54
Nc		22,25
fq		1,487
fg		0,600
fc		1,533
iq		0,960
ig		0,861
ic		0,960
eq		1,000
eg		1,000
ec		1,000

Risultati

qlim	t/mq	17
gammaR		1,00
qRd	t/mq	17

La verifica GEO si considera soddisfatta in quanto $0.11 < 1.7$ MPa.

VERIFICA STRU DELLA PLATEA

Si considera una sezione della platea 40x40x20 in corrispondenza della quale vengono trasmesse le reazioni vincolari dei pilastri e si procede alla verifica geo della sezione

File Materiali Opzioni Visualizza Progetto Sez. Rett. Sismica Normativa: NTC 2018 ?

Titolo : _____

N° strati barre Zoom

N°	b [cm]	h [cm]	N°	As [cm²]	d [cm]
1	40	20	1	3,93	3
			2	3,93	17

Tipo Sezione
 Rettan.re Trapezi
 a T Circolare
 Rettangoli Coord.
 DXF

Sollecitazioni
 S.L.U. Metodo n

N_{Ed} 0 kN
 M_{xEd} 0 kNm
 M_{yEd} 0

P.to applicazione N
 Centro Baricentro cls
 Coord.[cm] xN yN

Tipo rottura
 Lato calcestruzzo - Acciaio snervato

Materiali
 B450C C28/35
 ε_{su} ‰ ε_{c2} ‰
 f_{yd} N/mm² ε_{cu} ‰
 E_s N/mm² f_{cd} ‰
 E_s/E_c f_{cc}/f_{cd} ?
 ε_{syd} ‰ σ_{c,adm} ‰
 σ_{s,adm} N/mm² τ_{co} ‰
 τ_{c1} ‰

M_{xRd} kN m
 σ_c N/mm²
 σ_s N/mm²
 ε_c ‰
 ε_s ‰
 d cm
 x x/d
 δ

Metodo di calcolo
 S.L.U.+ S.L.U.-
 Metodo n

Tipo flessione
 Retta Deviata

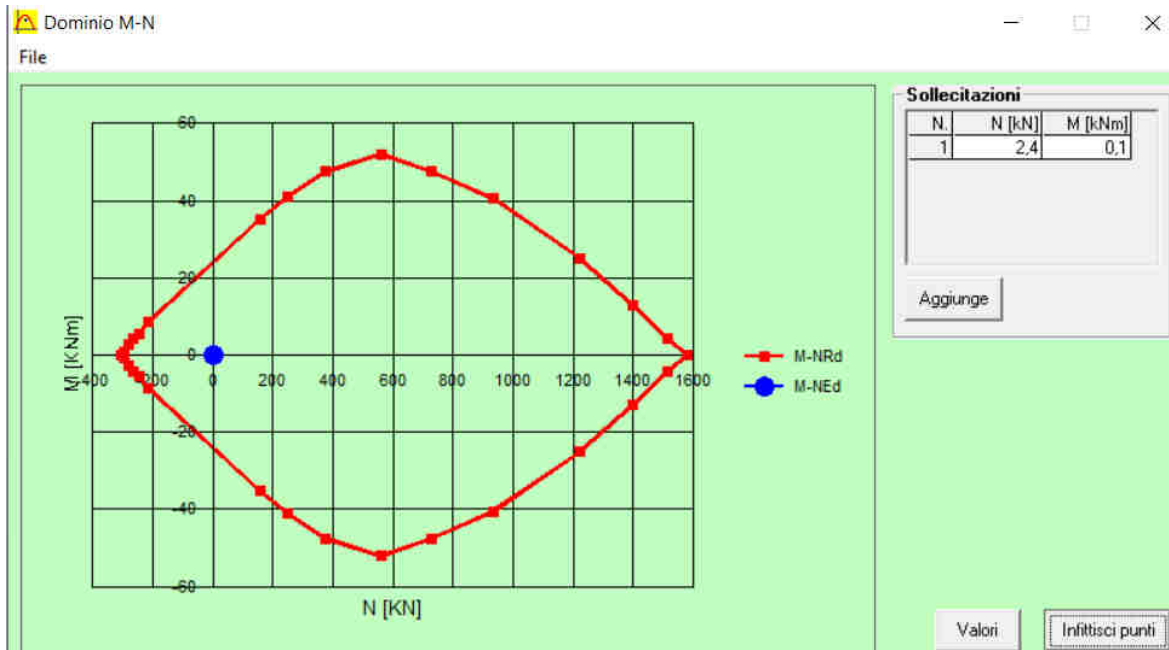
N° rett.

Calcola MRd Dominio M-N

L₀ cm Col. modello

M-curvatura

Precompresso



4.4 RELAZIONE DI CALCOLO

ANALISI DEI CARICHI

L' **ANALISI DEI CARICHI** per la determinazione delle forze statiche agenti sulla struttura in esame è stata effettuata in modo tale da pervenire alle condizioni più gravose nei confronti delle verifiche da effettuare.

I carichi d'esercizio assunti a base dei calcoli, oltre il peso proprio delle strutture portanti ed ai sovraccarichi permanenti conformemente alla destinazione specifica dei locali ed a quelli stabiliti dalle NTC 2018 sono stati i seguenti:

CARICHI VERTICALI DISTRIBUITI – STATO di PROGETTO

G+QPS+QPN		25	Kg/mq
VENTO	SOPR	27	Kg/mq
VENTO	SOTT	54	Kg/mq
CARICO NEVE	Qacc	80	Kg/mq

La determinazione delle caratteristiche della sollecitazione provocate nelle strutture è stata effettuata con i **METODI DELLA SCIENZA DELLE COSTRUZIONI**, basati sull'ipotesi dell'elasticità lineare dei materiali e cumulando le condizioni di carico nel modo più sfavorevole.

Tutte le verifiche di resistenza del legno sono state eseguite con l'applicazione del **METODO DEGLI STATI LIMITE** , tenendo conto delle condizioni più gravose possibili di carico.

Le caratteristiche delle azioni sollecitanti ricavate in base alle combinazioni, secondo quanto stabilito al **p.to 2.5.3 del D.M. 17.01.2018** risultano inferiori alle azioni resistenti per tutti gli stati limite previsti dal suddetto decreto

SLU - Combinazione fondamentale

$$\gamma_{G1} G_1 + \gamma_{G2} G_2 + \gamma_P P + \gamma_{Q1} Q_{k1} + \gamma_{Q2} \psi_{02} Q_{k2} + \gamma_{Q3} \psi_{03} Q_{k3} + \dots$$

SLE - Combinazione caratteristica (rara) – per tensioni ammissibili

$$G_1 + G_2 + P + Q_{k1} + \psi_{02} Q_{k2} + \psi_{03} Q_{k3} + \dots$$

SLE - Combinazione frequente - reversibili

$$G_1 + G_2 + P + \psi_{11} Q_{k1} + \psi_{22} Q_{k2} + \psi_{23} Q_{k3} + \dots$$

SLE - Combinazione quasi permanente – a lungo termine

$$G_1 + G_2 + P + \psi_{21} Q_{k1} + \psi_{22} Q_{k2} + \psi_{23} Q_{k3} + \dots$$

SLU – SLE - Combinazione sismica

$$G_1 + G_2 + P + E + \psi_{21} Q_{k1} + \psi_{22} Q_{k2} + \psi_{23} Q_{k3} + \dots$$

SLU - Combinazione eccezionale

$$G_1 + G_2 + P + A_d + \psi_{21} Q_{k1} + \psi_{22} Q_{k2} + \psi_{23} Q_{k3} + \dots$$

In carichi sopra definiti, una volta definiti e assegnati, vengono combinati (par. 2.5.3) a seconda della categoria dell'azione variabile, e fattorizzati (par. 2.6) a seconda che l'azione che esercita il carico sulla struttura sia a vantaggio o a svantaggio di sicurezza, come riportato nelle seguenti tabelle.

Categoria/Azione variabile	Ψ_{0j}	Ψ_{1j}	Ψ_{2j}
Categoria A – Ambienti ad uso residenziale	0.7	0.5	0.3
Categoria B – Uffici	0.7	0.5	0.3
Categoria C – Ambienti suscettibili di affollamento	0.7	0.7	0.6
Categoria D – Ambienti d uso commerciale	0.7	0.7	0.6
Categoria E – Biblioteche, archivi, magazzini e ambienti industriali	1.0	0.9	0.8
Categoria F – Rimesse e parcheggi (per autoveicoli di peso ≤ 30 kN)	0.7	0.7	0.6
Categoria G – Rimesse e parcheggi (per autoveicoli di peso > 30 kN)	0.7	0.5	0.3
Categoria H – coperture accessibili per sola manutenzione	0.0	0.0	0.0
Categoria I – coperture praticabili	<i>Da valutarsi caso per caso</i>		
Categoria K – coperture per usi speciali (impianti, eliporti...)	<i>caso</i>		
Vento	0.6	0.2	0.0
Neve (a quota ≤ 1000 m s.l.m.)	0.5	0.2	0.0
Neve (a quota > 1000 m s.l.m.)	0.7	0.5	0.2
Variazioni termiche	0.6	0.5	0.0

Tab. 2.5.1 – Valori dei coefficienti di combinazione

		Coefficiente γ_f	EQU	A1 STR	A2 GEO
Carichi permanenti	favorevoli	γ_{G1}	0.9	1.0	1.0
	sfavorevoli		1.1	1.3	1.0
Carichi permanenti non strutturali ⁽¹⁾	favorevoli	γ_{G2}	0.8	0.8	0.8
	sfavorevoli		1.5	1.5	1.3
Carichi variabili	favorevoli	γ_{Qj}	0.0	0.0	0.0
	sfavorevoli		1.5	1.5	1.3
⁽¹⁾ per i carichi permanenti non strutturali compiutamente definiti si possono utilizzare gli stessi coefficienti dei carichi permanenti					

Tab. 2.6.1 – Coefficienti parziali per le azioni o per l'effetto delle azioni nelle verifiche SLU

Nel modello strutturale , non avendo considerato la copertura come elemento rigido per la ripartizione dei carichi, le sollecitazioni sono state applicate direttamente sui vari elementi strutturali in funzione della propria area di influenza.

4.5 FASCICOLO DI CALCOLO

Ciascun elemento strutturale ligneo è stato dimensionato considerando le sollecitazioni ricavate dalla risoluzione dello schema statico.

Si riporta di seguito la tabella delle sollecitazioni agenti e la verifica del elementi principali più sollecitati secondo le NTC 2018.

Sollecitazioni aste

Simbologia

Asta	=	Numero dell'asta
N1	=	Nodo1
N2	=	Nodo2

X	=	Coordinata progressiva rispetto al nodo iniziale
N	=	Sforzo normale
CC	=	Numero della combinazione delle condizioni di carico elementari
Ty	=	Taglio in dir. Y
Mz	=	Momento flettente intorno all'asse Z
Tz	=	Taglio in dir. Z
My	=	Momento flettente intorno all'asse Y
Mx	=	Momento torcente intorno all'asse X

PILASTRI

Asta	N1	N2	X	N	CC	Ty	CC	Mz	CC	Tz	CC	My	CC	Mx	CC
			<cm>	<kg>		<kg>		<kgm>		<kg>		<kgm>		<kgm>	
1	1	101 Max	0.00	45.00	15	55.88	16	-2.04	7	30.42	13	7.12	1	5.45	13
1	1	101 Max	259.65					9.30	21			4.12	21		
1	1	101 Max	268.50	63.15	15	10.89	7	16.54	7	30.42	13	37.19	13	5.45	13
1	1	101 Min	0.00	-128.79	7	4.25	7	-20.18	16	-5.51	1	-44.48	13	-0.01	7
1	1	101 Min	128.08					18.88	13			-5.52	13		
1	1	101 Min	268.50	-114.83	7	-56.93	15	-20.48	15	-5.51	1	-7.67	1	-0.01	7
2	2	102 Max	0.00	27.94	15	26.05	16	31.66	15	29.22	13	3.62	1	5.95	13
2	2	102 Max	220.56					7.23	24			4.58	24		
2	2	102 Max	268.50	46.09	15	10.89	7	16.54	7	29.22	13	35.17	13	5.95	13
2	2	102 Min	0.00	-128.79	7	4.25	7	-12.70	7	-1.83	1	-43.28	13	-0.01	7
2	2	102 Min	58.06					35.52	13			-26.32	13		
2	2	102 Min	268.50	-114.83	7	-86.76	15	-55.31	15	-1.83	1	-1.30	1	-0.01	7
3	3	103 Max	0.00	-17.36	17	78.76	16	2.75	7	11.01	13	10.38	1	5.61	16
3	3	103 Max	188.95					19.41	13			2.61	13		
3	3	103 Max	268.50	0.19	13	6.72	7	9.36	7	11.01	13	11.37	13	5.61	16
3	3	103 Min	0.00	-125.04	1	-0.78	7	-56.37	16	-8.92	1	-18.20	13	-0.00	7
3	3	103 Min	236.22					5.47	22			-7.93	22		
3	3	103 Min	268.50	-111.07	1	-34.60	15	0.65	7	-8.92	1	-13.58	1	-0.00	7
4	4	104 Max	0.00	-28.34	18	6.72	7	166.74	15	13.79	13	-0.16	1	5.82	15
4	4	104 Max	268.50	-14.38	18	30.08	16	9.36	7	13.79	13	16.49	13	5.82	15
4	4	104 Min	0.00	-125.04	1	-192.03	15	-8.68	7	2.17	1	-20.54	13	-0.02	7
4	4	104 Min	268.50	-111.07	1	-0.78	7	-56.88	15	2.17	1	5.67	1	-0.02	7
5	5	105 Max	0.00	-115.11	1	71.19	16	7.96	7	-2.43	1	27.38	14	5.62	14
5	5	105 Max	86.82					1.41	23			1.06	23		
5	5	105 Max	268.50	-101.15	1	1.35	7	0.05	7	-2.43	1	-6.13	1	5.62	14

5	5 105 Min	0.00	-226.59	14	-6.23	7	-49.44	16	-24.41	14	0.39	1	-0.05	1
----------	------------------	-------------	----------------	-----------	--------------	----------	---------------	-----------	---------------	-----------	-------------	----------	--------------	----------

5	5 105 Min	175.03					13.14	16			-14.93	16		
5	5 105 Min	268.50	-208.44	14	-42.18	15	-9.62	15	-24.41	14	-38.16	14	-0.05	1
6	6 106 Max	0.00	-31.73	18	1.35	7	163.16	15	9.17	1	14.26	14	6.09	14
6	6 106 Max	268.50	-17.76	18	33.86	16	0.05	7	9.17	1	13.99	1	6.09	14
6	6 106 Min	0.00	-125.18	1	-188.26	15	-3.58	7	-9.99	14	-10.63	1	0.02	1
6	6 106 Min	268.50	-111.22	1	-6.23	7	-50.35	15	-9.99	14	-12.56	14	0.02	1
7	7 107 Max	0.00	-26.78	20	-4.77	7	86.52	15	1.50	1	36.16	14	6.30	14
7	7 107 Max	268.50	-12.82	20	80.83	16	5.02	16	1.50	1	0.68	1	6.30	14
7	7 107 Min	0.00	-131.01	7	-140.71	15	2.23	7	-24.08	14	-3.35	1	-0.04	1
7	7 107 Min	268.50	-117.04	7	-11.42	7	-17.76	7	-24.08	14	-28.49	14	-0.04	1
8	8 108 Max	0.00	8.70	16	-4.77	7	126.17	15	5.93	1	37.98	14	6.08	14
8	8 108 Max	268.50	26.85	16	57.06	16	-10.58	7	5.93	1	8.36	1	6.08	14
8	8 108 Min	0.00	-131.01	7	-164.48	15	2.23	7	-25.96	14	-7.55	1	0.00	1
8	8 108 Min	268.50	-117.04	7	-11.42	7	-23.49	15	-25.96	14	-31.72	14	0.00	1

TRAVI

Asta	N1	N2	X	N	CC	Ty	CC	Mz	CC	Tz	CC	My	CC	Mx	CC
			<cm>	<kg>		<kg>		<kgm>		<kg>		<kgm>		<kgm>	
101	101	102 Max	10.00	117.33	7	0.03	1	1.80	14	5.13	1	21.11	13	0.01	1
101	101	102 Max	26.69					0.01	7			2.00	7		
101	101	102 Max	150.00	117.33	7	0.03	1	0.02	1	2.23	1	3.73	1	0.01	1
101	101	102 Min	10.00	-105.15	15	-2.43	14	-0.02	1	-29.49	13	-1.47	1	-0.48	14
101	101	102 Min	26.69					-0.01	7			0.68	7		
101	101	102 Min	150.00	-105.15	15	-2.43	14	-1.60	14	-33.26	13	-22.82	13	-0.48	14
102	107	108 Max	10.00	111.44	7	0.02	1	1.02	13	30.38	14	4.17	1	0.01	1
102	107	108 Max	134.58					0.01	7			2.36	7		
102	107	108 Max	150.00	111.44	7	0.02	1	0.02	1	26.61	14	18.80	14	0.01	1
102	107	108 Min	10.00	-99.96	16	-1.52	13	-0.01	1	-2.41	1	-21.09	14	-0.73	13
102	107	108 Min	134.58					0.00	7			0.93	7		
102	107	108 Min	150.00	-99.96	16	-1.52	13	-1.11	13	-5.31	1	-1.28	1	-0.73	13
103	103	105 Max	13.00	111.18	1	-0.02	7	1.88	15	8.18	16	3.57	7	0.54	16
103	103	105 Max	135.34					-1.60	15			2.68	15		
103	103	105 Max	145.00	111.18	1	-0.02	7	-0.02	7	4.63	16	5.89	16	0.54	16
103	103	105 Min	13.00	-76.42	13	-2.84	15	0.00	7	-2.42	7	-2.56	16	0.00	7

207 102 201 Max	14.46	143.66	15	0.05	1	4.20	13	49.52	7	43.89	15	0.34	1
207 102 201 Max	83.35					0.44	23			14.75	23		
207 102 201 Max	241.40	124.59	15	0.05	1	1.29	13	37.27	16	-8.89	20	0.34	1
207 102 201 Min	14.46	-125.12	7	-1.28	13	-0.20	1	-8.92	15	-9.42	7	-3.10	13
207 102 201 Min	96.14					-0.10	7			10.66	7		
207 102 201 Min	241.40	-89.90	7	-1.28	13	-0.07	1	-35.64	7	-18.92	7	-3.10	13
208 101 201 Max	14.46	157.77	15	0.04	1	2.39	13	49.52	7	33.46	15	0.22	1
208 101 201 Max	19.00					2.26	15			33.54	15		
208 101 201 Max	241.40	138.69	15	0.04	1	2.20	13	49.70	16	5.47	16	0.22	1
208 101 201 Min	14.46	-125.12	7	-0.09	13	-0.13	1	3.51	15	-9.42	7	-1.29	13
208 101 201 Min	96.14					-0.05	7			10.66	7		
208 101 201 Min	241.40	-89.90	7	-0.09	13	-0.04	1	-35.64	7	-18.92	7	-1.29	13
209 103 201 Max	12.81	97.16	13	0.04	7	1.90	16	51.79	1	13.82	13	0.16	15
209 103 201 Max	96.29					0.13	1			16.44	1		
209 103 201 Max	247.97	79.92	13	0.04	7	1.34	16	67.70	14	24.98	14	0.16	15
209 103 201 Min	12.81	-127.08	1	-0.24	16	-0.09	7	17.83	17	-8.90	1	-0.40	7
209 103 201 Min	96.29					-0.01	1			12.53	1		
209 103 201 Min	247.97	-90.95	1	-0.24	16	0.01	7	-38.26	1	-20.89	1	-0.40	7
210 105 201 Max	12.81	-43.04	17	0.14	7	1.68	16	159.2	14	-2.37	1	1.50	15
210 105 201 Max	103.75					1.10	13			46.35	13		
210 105 201 Max	247.97	48.64	13	0.14	7	0.42	16	-35.42	1	-19.91	1	1.50	15
210 105 201 Min	12.81	-121.97	1	-0.53	16	-0.25	7	49.44	1	-23.20	14	-0.25	7
210 105 201 Min	96.60					-0.09	1			12.96	1		
210 105 201 Min	247.97	-85.53	1	-0.53	16	0.09	7	-99.72	13	-48.06	13	-0.25	7
211 107 201 Max	14.48	129.86	16	0.11	1	4.09	14	54.19	7	12.01	16	0.31	1
211 107 201 Max	103.90					0.05	7			16.22	7		
211 107 201 Max	250.03	114.35	16	0.11	1	0.12	1	62.74	15	14.44	15	0.31	1
211 107 201 Min	14.48	-127.16	7	-2.47	14	-0.23	1	17.26	20	-10.51	7	-0.24	1
211 107 201 Min	48.61					2.03	17			10.09	17		
211 107 201 Min	250.03	-90.76	7	-2.47	14	-1.78	13	-37.15	7	-19.19	7	-0.24	1
212 108 201 Max	14.48	151.30	16	-0.01	1	3.68	14	54.19	7	4.17	16	0.69	13
212 108 201 Max	103.90					0.09	7			16.22	7		
212 108 201 Max	250.03	135.79	16	-0.01	1	-0.02	1	63.15	15	7.58	15	0.69	13
212 108 201 Min	14.48	-127.16	7	-2.20	14	-0.10	1	17.53	20	-10.51	7	-0.31	1

212 108 201 Min	49.29			1.97 18		4.96 18		
212 108 201 Min	250.03	-90.76 7	-2.20 14	-1.56 13	-37.15 7	-19.19 7	-0.31 1	
223 106 201 Max	12.81	90.80 14	-0.06 7	3.86 15	52.44 1	5.08 14	0.25 7	
223 106 201 Max	96.60			0.09 1		16.91 1		
223 106 201 Max	247.97	74.51 14	-0.06 7	-0.09 7	59.26 13	-1.87 13	0.25 7	
223 106 201 Min	12.81	-121.97 1	-1.93 15	-0.05 7	13.72 18	-8.83 1	-0.81 15	
223 106 201 Min	42.55			2.11 17		2.29 17		
223 106 201 Min	247.97	-85.53 1	-1.93 15	-0.73 16	-38.42 1	-20.52 1	-0.81 15	
224 104 201 Max	12.81	13.95 14	0.04 7	3.39 15	51.79 1	10.27 14	0.40 7	
224 104 201 Max	96.29			0.01 1		16.44 1		
224 104 201 Max	247.97	-3.29 14	0.04 7	0.68 15	57.00 13	-3.24 17	0.40 7	
224 104 201 Min	12.81	-127.08 1	-1.15 15	-0.20 7	10.70 18	-8.90 1	-1.44 15	
224 104 201 Min	36.44			2.06 17		5.04 17		
224 104 201 Min	247.97	-90.95 1	-1.15 15	-0.11 7	-38.26 1	-20.89 1	-1.44 15	

VERIFICA PILASTRO 02 sezione 90x90+90x90

CARATTERISTICHE DEL LEGNO		
Coefficiente di sicurezza per il materiale	γ_m	1,35
Coefficiente k_{mod}	k_{mod}	0,60
		BS11
Flessione	$f_{m,k}$	24,00
Trazione parallela alla fibra	$f_{t,0,k}$	19,20
Trazione perpendicolare alla fibra	$f_{t,90,k}$	0,50
Compressione parallela alla fibra	$f_{c,0,k}$	24,00
Compressione perpendicolare alla fibra	$f_{c,90,k}$	2,50
Taglio	$f_{v,k}$	3,50
Modulo medio parallelo alla fibratura	$E_{0,mean}$	11,50
Modulo parallelo alla fibratura	$E_{0,05}$	9,60
Modulo medio perpendicolare alla fibratura	$E_{90,mean}$	0,30
Modulo di taglio medio	G_{mean}	0,65
Caratteristiche di sollecitazione	$\xi_{g/g}$	1,00

CARATTERISTICHE DELLA SEZIONE RETTANGOLARE E DELL'ASTA

Base della sezione	b	180	[mm]
Altezza della sezione	h	90	[mm]
Lunghezza libera d'inflessione attorno a y - y	L_{0y}	2800	[mm]
Lunghezza libera d'inflessione attorno a z - z	L_{0z}	2800	[mm]
Distanza tra i ritegni torsionali	L_{LT}	2800	[mm]
Area della sezione	A	16200	[mm ²]
Momento d'inerzia y - y	I_y	10935000	[mm ⁴]
Momento d'inerzia z - z	I_z	43740000	[mm ⁴]
Modulo di resistenza y - y	W_y	243000	[mm ³]
Modulo di resistenza z - z	W_z	486000	[mm ³]
Raggio d'inerzia y	i_y	25,98	[mm]
Raggio d'inerzia z	i_z	51,96	[mm]
Snellezze dell'elemento	l_y	107,77	[-]
	l_z	53,89	[-]
Tensioni critiche euleriane	$s_{c,crit,y}$	8,16	[MPa]
	$s_{c,crit,z}$	32,63	[MPa]
Snellezze relative dell'elemento	$l_{rel,y}$	1,715	[-]
	$l_{rel,z}$	0,858	[-]
Coefficienti di stabilità	b_c	0,20	[-]
	k_y	2,113	[-]
	k_z	0,924	[-]
	$k_{c,y}$	0,299	[-]
	$k_{c,z}$	0,790	[-]
Tensioni limite di calcolo	$k_{c,y}f_{c,0,d}$	3,19	[MPa]
	$k_{c,z}f_{c,0,d}$	8,42	[MPa]

VERIFICA A PRESSOFLESSIONE - TENSOFFLESSIONE - TAGLIO		SLU	SOLLECITAZIONI
Massima forza di compressione	$N_{c,Sd}$	2,26 [kN]	2,26
Massima forza di trazione	$N_{t,Sd}$	0,00 [kN]	0,00
Massimo momento flettente	M_{Sd}	0,50 [kNm]	0,50
Massimo taglio	V_{Sd}	0,30 [kN]	0,30
Tensione massima di compressione	$s_{c,0,d} = N_{c,Sd}/A$	0,14 [MPa]	
Tensione massima di trazione	$s_{t,0,d} = N_{t,Sd}/A$	0,00 [MPa]	
Tensione massima a flessione	$s_{m,y,d} = M_{Sd}/W_y$	2,06 [MPa]	
Tensione tangenziale massima	$t_d = 1,5 V_{Sd}/(b h)$	0,03 [MPa]	
Tasso di lavoro in compressione	$s_{c,0,d}/[k_{c,min}f_{c,0,d}]$	0,04 [-]	SI
Tasso di lavoro in trazione	$s_{t,0,d}/f_{t,0,d}$	0,00 [-]	SI
Tasso di lavoro a flessione	$s_{m,y,d}/f_{m,y,d}$	0,19 [-]	SI
Tasso di lavoro a pressoflessione	$s_{c,0,d}/[k_{c,min}f_{c,0,d}] + s_{m,y,d}/f_{m,y,d}$	0,24 [-]	SI
Tasso di lavoro a taglio	$t_d/f_{v,d}$	0,02 [-]	SI

VERIFICA DI FLESSO TORSIONE			
Momento d'inerzia torsionale	I_t	174960000 [mm ⁴]	
Tensione critica flesso torsionale	$S_{m,crit}$	852,75 [MPa]	
Snellezza relativa a flesso torsione	$I_{rel,m}$	0,168 [-]	
Coefficiente di svergolamento	$k_{crit,m}$	1,000 [-]	
Tasso di lavoro a flessione semplice	$s_{m,y,d}/[k_{crit,m} f_{m,y,d}]$	[-]	
Tasso di lavoro a pressoflessione	$s_{c,0,d}/[k_{c,min} f_{c,0,d}] + (s_{m,y,d}/[k_{crit,m} f_{m,y,d}])^2$	[-]	

VERIFICA TRAVE 208 puntone 70x140

CARATTERISTICHE DEL LEGNO			
Coefficiente di sicurezza per il materiale	γ_m	1,35	
Coefficiente k_{mod}	k_{mod}	0,60	
		BS11	
Flessione	$f_{m,k}$	24,00	
Trazione parallela alla fibra	$f_{t,0,k}$	19,20	
Trazione perpendicolare alla fibra	$f_{t,90,k}$	0,50	
Compressione parallela alla fibra	$f_{c,0,k}$	24,00	
Compressione perpendicolare alla fibra	$f_{c,90,k}$	2,50	
Taglio	$f_{v,k}$	3,50	
Modulo medio parallelo alla fibratura	$E_{0,mean}$	11,50	
Modulo parallelo alla fibratura	$E_{0,05}$	9,60	
Modulo medio perpendicolare alla fibratura	$E_{90,mean}$	0,30	
Modulo di taglio medio	G_{mean}	0,65	
Caratteristiche di sollecitazione	$g_{q/g}$	1,00	

CARATTERISTICHE DELLA SEZIONE RETTANGOLARE E DELL'ASTA			
Base della sezione	b	70	[mm]
Altezza della sezione	h	140	[mm]
Lunghezza libera d'inflessione attorno a y - y	L_{0y}	2800	[mm]
Lunghezza libera d'inflessione attorno a z - z	L_{0z}	2800	[mm]
Distanza tra i ritegni torsionali	L_{LT}	2800	[mm]
Area della sezione	A	9800	[mm ²]
Momento d'inerzia y - y	I_y	16006666,7	[mm ⁴]
Momento d'inerzia z - z	I_z	4001666,67	[mm ⁴]
Modulo di resistenza y - y	W_y	228666,667	[mm ³]
Modulo di resistenza z - z	W_z	114333,333	[mm ³]
Raggio d'inerzia y	i_y	40,41	[mm]
Raggio d'inerzia z	i_z	20,21	[mm]
Snellezze dell'elemento	l_y	69,28	[-]
	l_z	138,56	[-]
Tensioni critiche euleriane	$S_{c,crit,y}$	19,74	[MPa]
	$S_{c,crit,z}$	4,93	[MPa]
Snellezze relative dell'elemento	$l_{rel,y}$	1,103	[-]
	$l_{rel,z}$	2,205	[-]

Coefficienti di stabilità	b_c	0,20	[-]
	k_y	1,188	[-]
	k_z	3,122	[-]
	$k_{c,y}$	0,613	[-]
	$k_{c,z}$	0,188	[-]

Tensioni limite di calcolo	$k_{c,y}f_{c,0,d}$	6,54	[MPa]
	$k_{c,z}f_{c,0,d}$	2,00	[MPa]

VERIFICA A PRESSOFLESSIONE - TENSOFFLESSIONE - TAGLIO		SLU	SOLLECITAZIONI
Massima forza di compressione	$N_{c,Sd}$	1,60 [kN]	1,60
Massima forza di trazione	$N_{t,Sd}$	0,00 [kN]	0,00
Massimo momento flettente	M_{Sd}	0,50 [kNm]	0,50
Massimo taglio	V_{Sd}	0,50 [kN]	0,50
Tensione massima di compressione	$s_{c,0,d} = N_{c,Sd}/A$	0,16 [MPa]	
Tensione massima di trazione	$s_{t,0,d} = N_{t,Sd}/A$	0,00 [MPa]	
Tensione massima a flessione	$s_{m,y,d} = M_{Sd}/W_y$	2,19 [MPa]	
Tensione tangenziale massima	$t_d = 1,5 V_{Sd}/(b h)$	0,08 [MPa]	
Tasso di lavoro in compressione	$s_{c,0,d}/[k_{c,min}f_{c,0,d}]$	0,08 [-]	SI
Tasso di lavoro in trazione	$s_{t,0,d}/f_{t,0,d}$	0,00 [-]	SI
Tasso di lavoro a flessione	$s_{m,y,d}/f_{m,y,d}$	0,20 [-]	SI
Tasso di lavoro a pressoflessione	$s_{c,0,d}/[k_{c,min}f_{c,0,d}] + s_{m,y,d}/f_{m,y,d}$	0,29 [-]	SI
Tasso di lavoro a taglio	$t_d/f_{v,d}$	0,05 [-]	SI
VERIFICA DI FLESSO TORSIONE			
Momento d'inerzia torsionale	I_t	16006667 [mm ⁴]	
Tensione critica flessione torsionale	$s_{m,crit}$	82,91 [MPa]	
Snellezza relativa a flessione torsione	$l_{rel,m}$	0,538 [-]	
Coefficiente di svergolamento	$k_{crit,m}$	1,000 [-]	
Tasso di lavoro a flessione semplice	$s_{m,y,d}/[k_{crit,m} f_{m,y,d}]$	[-]	
Tasso di lavoro a pressoflessione	$s_{c,0,d}/[k_{c,min}f_{c,0,d}] + (s_{m,y,d}/[k_{crit,m} f_{m,y,d}])^2$	[-]	

TRAVE DI BANCHINA nr. 101

SEZIONE 45x115

CARATTERISTICHE DEL LEGNO			
Coefficiente di sicurezza per il materiale	g_m	1,35	
Coefficiente k_{mod}	k_{mod}	0,60	
		BS11	
Flessione	$f_{m,k}$	24,00	
Trazione parallela alla fibra	$f_{t,0,k}$	19,20	
Trazione perpendicolare alla fibra	$f_{t,90,k}$	0,50	
Compressione parallela alla fibra	$f_{c,0,k}$	24,00	
Compressione perpendicolare alla fibra	$f_{c,90,k}$	2,50	
Taglio	$f_{v,k}$	3,50	
Modulo medio parallelo alla fibratura	$E_{0,mean}$	11,50	
Modulo parallelo alla fibratura	$E_{0,05}$	9,60	
Modulo medio perpendicolare alla fibratura	$E_{90,mean}$	0,30	
Modulo di taglio medio	G_{mean}	0,65	
Caratteristiche di sollecitazione	$g_{q/g}$	1,00	

CARATTERISTICHE DELLA SEZIONE RETTANGOLARE E DELL'ASTA			
Base della sezione	b	45	[mm]
Altezza della sezione	h	115	[mm]
Lunghezza libera d'inflessione attorno a y - y	L_{0y}	2800	[mm]
Lunghezza libera d'inflessione attorno a z - z	L_{0z}	2800	[mm]
Distanza tra i ritegni torsionali	L_{LT}	2800	[mm]
Area della sezione	A	5175	[mm ²]
Momento d'inerzia y - y	I_y	5703281,25	[mm ⁴]
Momento d'inerzia z - z	I_z	873281,25	[mm ⁴]
Modulo di resistenza y - y	W_y	99187,5	[mm ³]
Modulo di resistenza z - z	W_z	38812,5	[mm ³]
Raggio d'inerzia y	i_y	33,20	[mm]
Raggio d'inerzia z	i_z	12,99	[mm]
Snellezze dell'elemento	l_y	84,34	[-]
	l_z	215,54	[-]
Tensioni critiche euleriane	$s_{c,crit,y}$	13,32	[MPa]
	$s_{c,crit,z}$	2,04	[MPa]
Snellezze relative dell'elemento	$l_{rel,y}$	1,342	[-]
	$l_{rel,z}$	3,430	[-]
Coefficienti di stabilità	b_c	0,20	[-]
	k_y	1,505	[-]

k_z	6,697	[-]
$k_{c,y}$	0,457	[-]
$k_{c,z}$	0,080	[-]

Tensioni limite di calcolo	$k_{c,y}f_{c,0,d}$	4,88	[MPa]
	$k_{c,z}f_{c,0,d}$	0,86	[MPa]

VERIFICA A PRESSOFLESSIONE - TENSOFFLESSIONE - TAGLIO		SLU	SOLLECITAZIONI
Massima forza di compressione	$N_{c,Sd}$	1,20 [kN]	1,20
Massima forza di trazione	$N_{t,Sd}$	0,00 [kN]	0,00
Massimo momento flettente	M_{Sd}	0,05 [kNm]	0,05
Massimo taglio	V_{Sd}	0,40 [kN]	0,40
Tensione massima di compressione	$s_{c,0,d} = N_{c,Sd}/A$	0,23 [MPa]	
Tensione massima di trazione	$s_{t,0,d} = N_{t,Sd}/A$	0,00 [MPa]	
Tensione massima a flessione	$s_{m,y,d} = M_{Sd}/W_y$	0,50 [MPa]	
Tensione tangenziale massima	$t_d = 1,5 V_{Sd}/(b h)$	0,12 [MPa]	
Tasso di lavoro in compressione	$s_{c,0,d}/[k_{c,min}f_{c,0,d}]$	0,27 [-]	SI
Tasso di lavoro in trazione	$s_{t,0,d}/f_{t,0,d}$	0,00 [-]	SI
Tasso di lavoro a flessione	$s_{m,y,d}/f_{m,y,d}$	0,05 [-]	SI
Tasso di lavoro a pressoflessione	$s_{c,0,d}/[k_{c,min}f_{c,0,d}] + s_{m,y,d}/f_{m,y,d}$	0,32 [-]	SI
Tasso di lavoro a taglio	$t_d/f_{v,d}$	0,07 [-]	SI
VERIFICA DI FLESSO TORSIONE			
Momento d'inerzia torsionale	I_t	3493125 [mm ⁴]	
Tensione critica flessione torsionale	$s_{m,crit}$	41,71 [MPa]	
Snellezza relativa a flessione torsione	$l_{rel,m}$	0,759 [-]	
Coefficiente di svergolamento	$k_{crit,m}$	0,991 [-]	
Tasso di lavoro a flessione semplice	$s_{m,y,d}/[k_{crit,m} f_{m,y,d}]$	0,05 [-]	SI
Tasso di lavoro a pressoflessione	$s_{c,0,d}/[k_{c,min}f_{c,0,d}] + (s_{m,y,d}/[k_{crit,m} f_{m,y,d}])^2$	0,27 [-]	SI

5. STRUTTURA IN ACCIAIO SCOPERTA A LAMELLA 1000X400X300

Trattasi di una struttura in profili di acciaio scatolari posta nel resede dell'edificio ed a questi collegata.

La struttura è formata da portali collegati alla struttura esistente del fabbricati e non presenta una copertura fissa.

Per la geometria della stessa e per i carichi portati, la struttura si configura come 'opera priva di rilevanza' ai sensi del articolo 94 bis, comma 2, lettera c), del d.p.r. 380/2001 nonché dell'articolo 170 bis della l.r. 65/2014 e pertanto per la stessa si procederà alla redazione di un fascicolo esecutivo di calcolo senza procedere allo specifico deposito sismico presso l'ufficio competente della Regione toscana.

E' prevista di dimensioni fuori terra pari a 10.00x4.00 h 3.00ml.

Gli elementi portanti di ciascun portale sono 02 pilastri verticali realizzati con scatolari quadri in acciaio diam 150mm spessore 3mm , architrave con scatolare 150x150x3. Tutti gli elementi della struttura sono acciaio S235 JR.

La fondazione della struttura è formata da massetto armato di 15cm necessario per la posa della pavimentazione antitrauma.

I pilastri sono vincolati al plinto mediante piastra a bicchiere a scomparsa.

L'architrave è collegato ai pilastri mediante piastre saldate.

5.1 RELAZIONE DI CALCOLO

Dal punto di vista strutturale l'intervento si configura come 'opera priva di rilevanza' ai sensi delle NTC 2018, ma per esso si procede comunque al dimensionamento come da normativa.

Il manufatto è stato dimensionato considerando la sovrastruttura incastrata alla base e sollecitata da vento, neve e sisma nelle combinazioni di carico previste dalla normativa.

Le sollecitazioni ricavate poi dalla verifica dinamica della sovrastruttura sono state poi applicate alla platea sottostante per il dimensionamento della stessa e per la verifica della portanza del terreno.

La sovrastruttura è stata dimensionata mediante la risoluzione di vari schemi statici.

Ipotesi progettuali comuni a tutti i manufatti dimensionati sono:

- $q=1$
- Classe III: Costruzioni il cui uso preveda affollamenti significativi - SCUOLE

Data la massa ridotta della struttura si ritiene progettualmente corretto procedere al dimensionamento della stessa ai soli carichi statici.

5.2 RELAZIONE SUI MATERIALI

Acciaio per c.a. in barre ad aderenza migliorata:

Tensione di snervamento:

B450C

$$f_{yk} \geq 4500 \text{ Kg/cm}^2$$

Conglomerato cementizio armato per strutture di fondazione: C28/35

Classe di consistenza S4,	Dimensione max inerte < 24 mm
Resistenza di progetto a compressione:	$f_{cd} = 158.7 \text{ Kg/cm}^2$
Resistenza di progetto a trazione:	$f_{ctd} = 12.9 \text{ Kg/cm}^2$
Classe di esposizione XC2	
Da tabella 4.1.III delle NTC condizioni ambientali ordinarie:	copriferro $\geq 25 \text{ mm}$

Acciaio da carpenteria

Tutti gli elementi dovranno avere un modulo di elasticità non inferiore a 206000 N/mmq.

Profilati, larghi piatti, barre e lamiere

Acciaio tipo S 235 con le seguenti caratteristiche:

Tensione caratteristica di snervamento	$\geq 235 \text{ N/mmq}$
Tensione di rottura a trazione	$\geq 390 \text{ N/mmq}$
Allungamento percentuale a rottura per lamiere	$\geq 24\%$
Allungamento percentuale a rottura per barre, laminati, profilati e larghi piatti	$\geq 26\%$

Bulloneria

Classe 4.6

5.3 RELAZIONE DI FONDAZIONE

Di seguito si procede al calcolo della tensione trasmessa dal pilastro del portale zoppo al plinto di fondazione.

Si è proceduto ad una doppia verifica: la verifica STRU della platea e la verifica GEO con la quale si è ricavato il valore del carico massimo sul terreno da confrontare con il carico limite indicato nella relazione geologico-tecnica allegata alla presente pratica.

VERIFICA GEO DELLA PLATEA

APPROCCIO 2 (A1 + M1 + R3)

azioni incrementate, parametrici geotecnici invariati, resistenze ridotte

GammaG1 (*)	1,3	gammaM
GammaG2 (*)	1,5	gammaR
GammaQ (*)	1,5	Kh sismico

VERIFICA ALLO SLU DI TIPO GEOTECNICO

CALCOLO DEL CARICO LIMITE INSIEME FONDAZIONE-TERRENO

Dati terreno

angolo d'attrito ϕ	gradi	25
peso specifico 1	t/mc	1,70
peso specifico 2	t/mc	1,80
coesione c'	t/mq	0,00
inclinazione del pendio	gradi	0 ok
profondità della falda dw	m	100
tipo di terreno	C/A	PD

Geometria fondazione

profondità di posa D	m	0,45
base B	m	1,00
lunghezza L (L>B)	m	1,00
eccentricità Eb	m	0,00
eccentricità EI	m	0,00
inclinazione del carico effettiva	gradi	0,00

Dati di calcolo

inclinazione del carico sismica	gradi	3,60
inclinazione del carico totale	gradi	3,60487
B" (= B o B')	m	1
L" (= L o L')	m	1
c" (= c o c*)	t/mq	0,00
ϕ " (= ϕ o ϕ^*)	gradi	25
Nq		10,66
Ng		10,88
Nc		20,72
fq		1,466
fg		0,600
fc		1,514
iq		0,960
ig		0,856
ic		0,960
eq		1,000

eg		1,000
ec		1,000
Risultati		
qlim	t/mq	17
gammaR		1,00
qRd	t/mq	17
kwinkler	DaN/cm3	0,66

<u>Massetto armato</u>					
<u>GEOMETRIA</u>					
Dimensioni	(cm)	bx	by	Bx	By
		15	15	35	35
H plinto	(cm)	15			
copriferro	(cm)	3			
d	(cm)	12			
<u>SOLLECITAZIONI - MATERIALI</u>					
Azioni agenti SLU (KN-KNm)		Nsd	Msd x	Msd_y	
		5,7	2,8		
<u>PRESSIONI</u>					
Pressioni sul terreno	MPa	σ_1	σ_2	σ_3	σ_4
		0,468	0,468	-0,419	-0,419

La verifica geo risulta soddisfatta in quanto $0.47 < 1.70$.

VERIFICA STRU DELLA PLATEA

Si considera la sezione 40x40x15 del massetto armato in corrispondenza della quale vengono trasmesse le reazioni vincolari dei pilastri e si procede alla verifica geo della sezione.

FILE MATERIALI OPZIONI VISUALIZZA PROGETTO DEL NELL. ASSISTENZA NORMATIVA (MC 2010)

Titolo: _____

N° strati barre: Zoom

N°	b [cm]	h [cm]
1	40	15

N°	As [cm²]	d [cm]
1	2,36	3
2	2,36	12

Tipo Sezione
 Rettan.re Trapezi
 a T Circolare
 Rettangoli Coord.
 DXF

Sollecitazioni
 S.L.U. Metodo n

P.to applicazione N
 Centro Baricentro cls
 Coord.[cm] xN yN

Materiali
 B450C C28/35
 ϵ_{su} ‰ ϵ_{c2} ‰
 f_{yd} N/mm² ϵ_{cu} ‰
 E_s N/mm² f_{cd} ‰
 E_s/E_c f_{cc}/f_{cd} ?
 ϵ_{syd} ‰ $\sigma_{c,adm}$
 $\sigma_{s,adm}$ N/mm² τ_{co}
 τ_{c1}

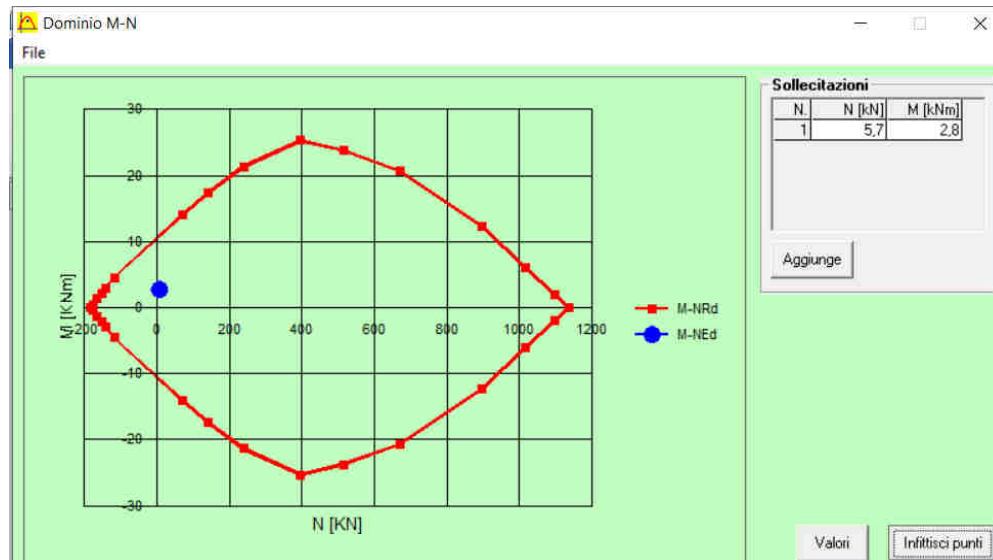
P.to rottura
 Lato calcestruzzo - Acciaio snervato

M_{xRd} kN m
 σ_c N/mm²
 σ_s N/mm²
 ϵ_c ‰
 ϵ_s ‰
 d cm
 x x/d
 δ

Metodo di calcolo
 S.L.U.+ S.L.U.-
 Metodo n

Tipo flessione
 Retta Deviata

N° rett.
 Calcola MRd Dominio M-N
 L₀ cm Col. modello
 M-curvatura
 Precompresso



5.4 RELAZIONE DI CALCOLO

ANALISI DEI CARICHI

L' **ANALISI DEI CARICHI** per la determinazione delle forze statiche agenti sulla struttura in esame è stata effettuata in modo tale da pervenire alle condizioni più gravose nei confronti delle verifiche da effettuare.

I carichi d'esercizio assunti a base dei calcoli, oltre il peso proprio delle strutture portanti ed ai sovraccarichi permanenti conformemente alla destinazione specifica dei locali ed a quelli stabiliti dalle NTC 2018 sono stati i seguenti:

CARICHI VERTICALI DISTRIBUITI – STATO di PROGETTO

G+QPS+QPN		25	Kg/mq
VENTO	SOPR	27	Kg/mq
VENTO	SOTT	54	Kg/mq
CARICO NEVE	Qacc	80	Kg/mq

La determinazione delle caratteristiche della sollecitazione provocate nelle strutture è stata effettuata con i **METODI DELLA SCIENZA DELLE COSTRUZIONI**, basati sull'ipotesi dell'elasticità lineare dei materiali e cumulando le condizioni di carico nel modo più sfavorevole.

Tutte le verifiche di resistenza del legno sono state eseguite con l'applicazione del **METODO DEGLI STATI LIMITE** , tenendo conto delle condizioni più gravose possibili di carico.

Le caratteristiche delle azioni sollecitanti ricavate in base alle combinazioni, secondo quanto stabilito al **p.to 2.5.3 del D.M. 17.01.2018** risultano inferiori alle azioni resistenti per tutti gli stati limite previsti dal suddetto decreto

SLU - Combinazione fondamentale

$$\gamma_{G1} G_1 + \gamma_{G2} G_2 + \gamma_P P + \gamma_{Q1} Q_{k1} + \gamma_{Q2} \psi_{02} Q_{k2} + \gamma_{Q3} \psi_{03} Q_{k3} + \dots$$

SLE - Combinazione caratteristica (rara) – per tensioni ammissibili

$$G_1 + G_2 + P + Q_{k1} + \psi_{02} Q_{k2} + \psi_{03} Q_{k3} + \dots$$

SLE - Combinazione frequente - reversibili

$$G_1 + G_2 + P + \psi_{11} Q_{k1} + \psi_{22} Q_{k2} + \psi_{23} Q_{k3} + \dots$$

SLE - Combinazione quasi permanente – a lungo termine

$$G_1 + G_2 + P + \psi_{21} Q_{k1} + \psi_{22} Q_{k2} + \psi_{23} Q_{k3} + \dots$$

SLU – SLE - Combinazione sismica

$$G_1 + G_2 + P + E + \psi_{21} Q_{k1} + \psi_{22} Q_{k2} + \psi_{23} Q_{k3} + \dots$$

SLU - Combinazione eccezionale

$$G_1 + G_2 + P + A_d + \psi_{21} Q_{k1} + \psi_{22} Q_{k2} + \psi_{23} Q_{k3} + \dots$$

In carichi sopra definiti, una volta definiti e assegnati, vengono combinati (par. 2.5.3) a seconda della categoria dell'azione variabile, e fattorizzati (par. 2.6) a seconda che l'azione che esercita il

carico sulla struttura sia a vantaggio o a svantaggio di sicurezza, come riportato nelle seguenti tabelle.

Categoria/Azione variabile	Ψ_{0j}	Ψ_{1j}	Ψ_{2j}
Categoria A – Ambienti ad uso residenziale	0.7	0.5	0.3
Categoria B – Uffici	0.7	0.5	0.3
Categoria C – Ambienti suscettibili di affollamento	0.7	0.7	0.6
Categoria D – Ambienti d uso commerciale	0.7	0.7	0.6
Categoria E – Biblioteche, archivi, magazzini e ambienti industriali	1.0	0.9	0.8
Categoria F – Rimesse e parcheggi (per autoveicoli di peso ≤ 30 kN)	0.7	0.7	0.6
Categoria G – Rimesse e parcheggi (per autoveicoli di peso > 30 kN)	0.7	0.5	0.3
Categoria H – coperture accessibili per sola manutenzione	0.0	0.0	0.0
Categoria I – coperture praticabili	<i>Da valutarsi caso per caso</i>		
Categoria K – coperture per usi speciali (impianti, eliporti...)	<i>Da valutarsi caso per caso</i>		
Vento	0.6	0.2	0.0
Neve (a quota ≤ 1000 m s.l.m.)	0.5	0.2	0.0
Neve (a quota > 1000 m s.l.m.)	0.7	0.5	0.2
Variazioni termiche	0.6	0.5	0.0

Tab. 2.5.1 – Valori dei coefficienti di combinazione

		Coefficiente γ_F	EQU	A1 STR	A2 GEO
Carichi permanenti	favorevoli	γ_{G1}	0.9	1.0	1.0
	sfavorevoli		1.1	1.3	1.0
Carichi permanenti non strutturali ⁽¹⁾	favorevoli	γ_{G2}	0.8	0.8	0.8
	sfavorevoli		1.5	1.5	1.3
Carichi variabili	favorevoli	γ_{Qj}	0.0	0.0	0.0
	sfavorevoli		1.5	1.5	1.3

⁽¹⁾ per i carichi permanenti non strutturali compiutamente definiti si possono utilizzare gli stessi coefficienti dei carichi permanenti

Tab. 2.6.1 – Coefficienti parziali per le azioni o per l'effetto delle azioni nelle verifiche SLU

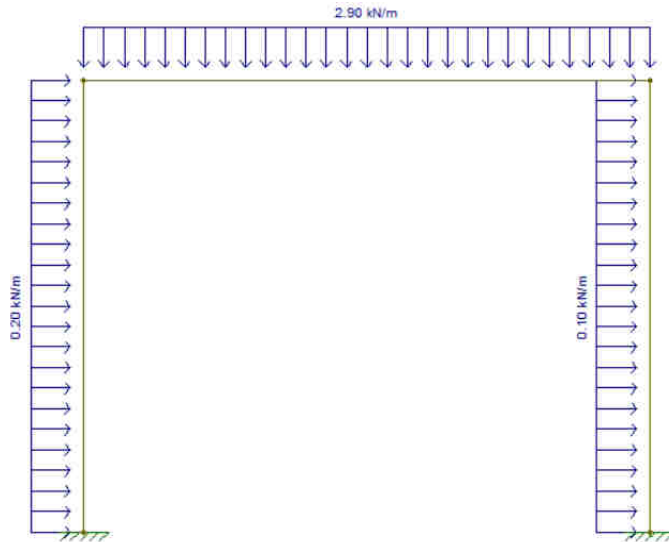
Nel modello strutturale , non avendo considerato la copertura come elemento rigido per la ripartizione dei carichi, le sollecitazioni sono state applicate direttamente sui vari elementi strutturali in funzione della propria area di influenza.

5.5 FASCICOLO DI CALCOLO

Ciascun elemento del portale zoppo è stato dimensionato considerando le sollecitazioni ricavate dalla risoluzione dello schema statico.

Si riporta di seguito la tabella delle sollecitazioni agenti e la verifica del elementi principali più sollecitati secondo le NTC 2018.

Si considera il portale carico da carico uniforme sull'architrave dovuto alla neve e sui pilastri corrispondente al carico vento.



Le sollecitazioni ricavate dallo schema statico sono le seguenti:

PILASTRO

$N=570\text{Kg}$

$M=280\text{Kgml}$

$T=130\text{Kg}$

ARCHITRAVE


$N=130\text{Kg}$

$M=280\text{Kgml}$


$T=570\text{Kg}$

Si allegano verifiche degli elementi di acciaio.

VERIFICHE DI RESISTENZA E STABILITA' PER PROFILI CAVI A SEZIONE QUADRA - RETTANGOLARE

Dati INPUT				Dati OUTPUT															
Caratteristiche acciaio				Dati geometrici															
Qualità acciaio:	UNI EN 10210 S 235 H			Dimensione lati		Spessore	Classe della sezione	Area sezione trasversale	Momenti di inerzia		Momenti resistenti elastici		Momenti resistenti plastici		Massa per unità di lunghezza	Superf. per unità di lunghezza	Lunghezza per tonnellata		
$f_{yk} =$	235	[Mpa]		H	B	T	3	A	I_{yy}	I_{zz}	W_{elyy}	W_{elzz}	W_{plyy}	W_{plzz}	M	As	L/1t		
$f_{tk} =$	360	[Mpa]		[mm]	[mm]	[mm]		[cm ²]	[cm ⁴]	[cm ⁴]	[cm ³]	[cm ³]	[cm ³]	[cm ³]	[kg/m]	[m ² /m]	[m]		
				150,0	150,0	3,0		17,54	629,98	629,98	84,00	84,00	96,52	96,52	13,77	0,59	72,61		
Geometria sezione				Verifiche secondo NTC2018 - §4.2															
H =	150,0	[mm]		Verifica a trazione (4.2.4.1.2.1)				$N_{pl,Rd} =$	392,64		$N_{Ed} / N_{pl,R} =$								
B =	150,0	[mm]		Verifica a compressione (4.2.4.1.2.2)				$N_{c,Rd} =$	392,64		$N_{Ed} / N_{c,Rd} =$		0,01		verifica soddisfatta				
t =	3,0	[mm]		Verifica a flessione retta (4.2.4.1.2.3 - 4.2.4.1.2.6)				$M_{c,y,Rd} =$	18,80		$M_{y,Ed} / M_{c,y,Rd} =$		0,15		verifica soddisfatta				
$\beta_y =$	2,00	[-]		Verifica a flessione retta (4.2.4.1.2.3 - 4.2.4.1.2.6)				$M_{c,z,Rd} =$	18,80		$M_{z,Ed} / M_{c,z,Rd} =$		0,00		verifica soddisfatta				
$\beta_z =$	2,00	[-]		Verifica a taglio (4.2.4.1.2.4)				$V_{c,Rd} =$	113,35		$V_{Ed} / V_{c,Rd} =$		0,01		verifica soddisfatta				
Sollecitazioni agenti				Verifica a presso/tenso-flessione retta (4.2.4.1.2.7 - 4.2.4.1.2.9)				Sez. Classe 1-2	$M_{N,y,Rd} =$	$M_{Ed} / M_{N,y,Rd} =$									
$N_{Ed} =$	-5,70	[kN]						Sez. Classe 3	$M_{N,z,Rd} =$	$M_{Ed} / M_{N,z,Rd} =$									
$V_{Ed} =$	1,30	[kN]						Sez. Classe 3	$ \sigma_{x,My,Ed} =$	36,58		$f_{yd} =$		223,81		verifica soddisfatta			
$M_{y,Ed} =$	2,80	[kNm]						Sez. Classe 3	$ \sigma_{x,Mz,Ed} =$	3,25		$f_{yd} =$		223,81		verifica soddisfatta			
$M_{z,Ed} =$	0,00	[kNm]		Verifica a presso/tenso-flessione biassiale (4.2.4.1.2.8 - 4.2.4.1.2.9)				Sez. Classe 1-2	$M_{N,y,Rd} =$	$(M_{y,Ed} / M_{N,y,Rd})^\alpha + (M_{z,Ed} / M_{N,z,Rd})^\beta =$									
$\psi_y =$	-0,60	[kNm]		Verifica a presso/tenso-flessione biassiale (4.2.4.1.2.8 - 4.2.4.1.2.9)				Sez. Classe 1-2	$M_{N,z,Rd} =$	$(M_{y,Ed} / M_{N,y,Rd})^\alpha + (M_{z,Ed} / M_{N,z,Rd})^\beta =$									
$\psi_z =$	-1,00	[kNm]		Verifica a presso/tenso-flessione biassiale (4.2.4.1.2.8 - 4.2.4.1.2.9)				Sez. Classe 3	$ \sigma_{x,Ed} =$	36,58		$f_{yd} =$		223,81		verifica soddisfatta			
 <p style="font-size: small; margin: 0;">Fondazione Promozione Acciaio CRESCERE L'ACCIAIO, CRESCERE IL PAESE.</p>				Verifica stabilità membrature compresse (4.2.4.1.3.1)				$N_{b,Rd} =$	233,56		$\chi_{min} =$	0,59		$N_{Ed} / N_{b,Rd} =$		0,02		verifica soddisfatta	
				Verifica stabilità membrature presso-inflesse (4.2.4.1.3.3)				$\frac{N_{Ed} \cdot \gamma_{M1}}{\chi_{min} \cdot f_{yk} \cdot A} + \frac{M_{y,eq,Ed} \cdot \gamma_{M1}}{f_{yk} \cdot W_y \cdot \left(1 - \frac{N_{Ed}}{N_{cr,y}}\right)} + \frac{M_{z,eq,Ed} \cdot \gamma_{M1}}{f_{yk} \cdot W_z \cdot \left(1 - \frac{N_{Ed}}{N_{cr,z}}\right)} = 0,15$											

VERIFICHE DI RESISTENZA E STABILITA' PER PROFILI CAVI A SEZIONE QUADRA - RETTANGOLARE

Dati INPUT				Dati OUTPUT																		
Caratteristiche acciaio				Dati geometrici																		
Qualità acciaio:	UNI EN 10210 S 235 H			Dimensione lati			Spessore	Classe della sezione	Area sezione trasversale	Momenti di inerzia		Momenti resistenti elastici		Momenti resistenti plastici		Massa per unità di lunghezza	Superf. per unità di lunghezza	Lunghezza per tonnellata				
	f_{yk}	235	[Mpa]	H	B	T	3	A	I_{yy}	I_{zz}	W_{elyy}	W_{elzz}	W_{plyy}	W_{plzz}	M	As	L/1t					
	f_{tk}	360	[Mpa]	[mm]	[mm]	[mm]		[cm ²]	[cm ⁴]	[cm ⁴]	[cm ³]	[cm ³]	[cm ³]	[cm ³]	[kg/m]	[m ² /m]	[m]					
			150,0	150,0	3,0	17,54		629,98	629,98	84,00	84,00	96,52	96,52	13,77	0,59	72,61						
Geometria sezione				Verifiche secondo NTC2018 - §4.2																		
H =	150,0	[mm]	Verifica a trazione (4.2.4.1.2.1)					$N_{pl,Rd} =$	392,64						$N_{Ed} / N_{pl,R} =$							
B =	150,0	[mm]	Verifica a compressione (4.2.4.1.2.2)					$N_{c,Rd} =$	392,64						$N_{Ed} / N_{c,Rd} =$	0,00	verifica soddisfatta					
t =	3,0	[mm]	Verifica a flessione retta (4.2.4.1.2.3 - 4.2.4.1.2.6)					$M_{c,y,Rd} =$	18,80						$M_{y,Ed} / M_{c,y,Rd} =$	0,15	verifica soddisfatta					
$\beta_y =$	2,00	[-]						$M_{c,z,Rd} =$	18,80						$M_{z,Ed} / M_{c,z,Rd} =$	0,00	verifica soddisfatta					
$\beta_z =$	2,00	[-]						$V_{c,Rd} =$	113,35						$V_{Ed} / V_{c,Rd} =$	0,05	verifica soddisfatta					
Sollecitazioni agenti																						
$N_{Ed} =$	-1,30	[kN]	Verifica a presso/tenso-flessione retta (4.2.4.1.2.7 - 4.2.4.1.2.9)					Sez. Classe 1-2	$M_{N,y,Rd} =$						$M_{Ed} / M_{N,y,Rd} =$							
$V_{Ed} =$	5,70	[kN]						Sez. Classe 3	$M_{N,z,Rd} =$						$M_{Ed} / M_{N,z,Rd} =$							
$M_{y,Ed} =$	2,80	[kNm]						$ \sigma_{x,M_y,Ed} =$	34,08						$f_{yd} =$	223,81	verifica soddisfatta					
$M_{z,Ed} =$	0,00	[kNm]	Verifica a presso/tenso-flessione biassiale (4.2.4.1.2.8 - 4.2.4.1.2.9)					Sez. Classe 1-2	$M_{N,y,Rd} =$						$(M_{y,Ed} / M_{N,y,Rd})^\alpha + (M_{z,Ed} / M_{N,z,Rd})^\beta =$							
$\psi_y =$	-0,60	[kNm]						Sez. Classe 3	$M_{N,z,Rd} =$						$f_{yd} =$	223,81	verifica soddisfatta					
$\psi_z =$	-1,00	[kNm]						$ \sigma_{x,Ed} =$	34,08						$f_{yd} =$	223,81	verifica soddisfatta					
 <p>Fondazione Promozione Acciaio CRESCERE L'ACCIAIO, CRESCERE IL PAESE.</p>				Verifica stabilità membrature compresse (4.2.4.1.3.1)					$N_{b,Rd} =$	170,32	$\chi_{min} =$	0,43						$N_{Ed} / N_{b,Rd} =$	0,01	verifica soddisfatta		
				Verifica stabilità membrature presso-inflesse (4.2.4.1.3.3)					$\frac{N_{Ed} \cdot \gamma_{M1}}{\chi_{min} \cdot f_{yk} \cdot A} + \frac{M_{y,eq,Ed} \cdot \gamma_{M1}}{f_{yk} \cdot W_y \cdot \left(1 - \frac{N_{Ed}}{N_{cr,y}}\right)} + \frac{M_{z,eq,Ed} \cdot \gamma_{M1}}{f_{yk} \cdot W_z \cdot \left(1 - \frac{N_{Ed}}{N_{cr,z}}\right)} = 0,13$										verifica soddisfatta			

IL tecnico
SILVIA PAOLETTI
ingegnere

Firmato da:

PAOLETTI SILVIA

codice fiscale PLTSLV74M65G999E

num.serie: 123211585690230571860533369402341071990

emesso da: ArubaPEC S.p.A. NG CA 3

valido dal 29/02/2020 al 01/03/2023